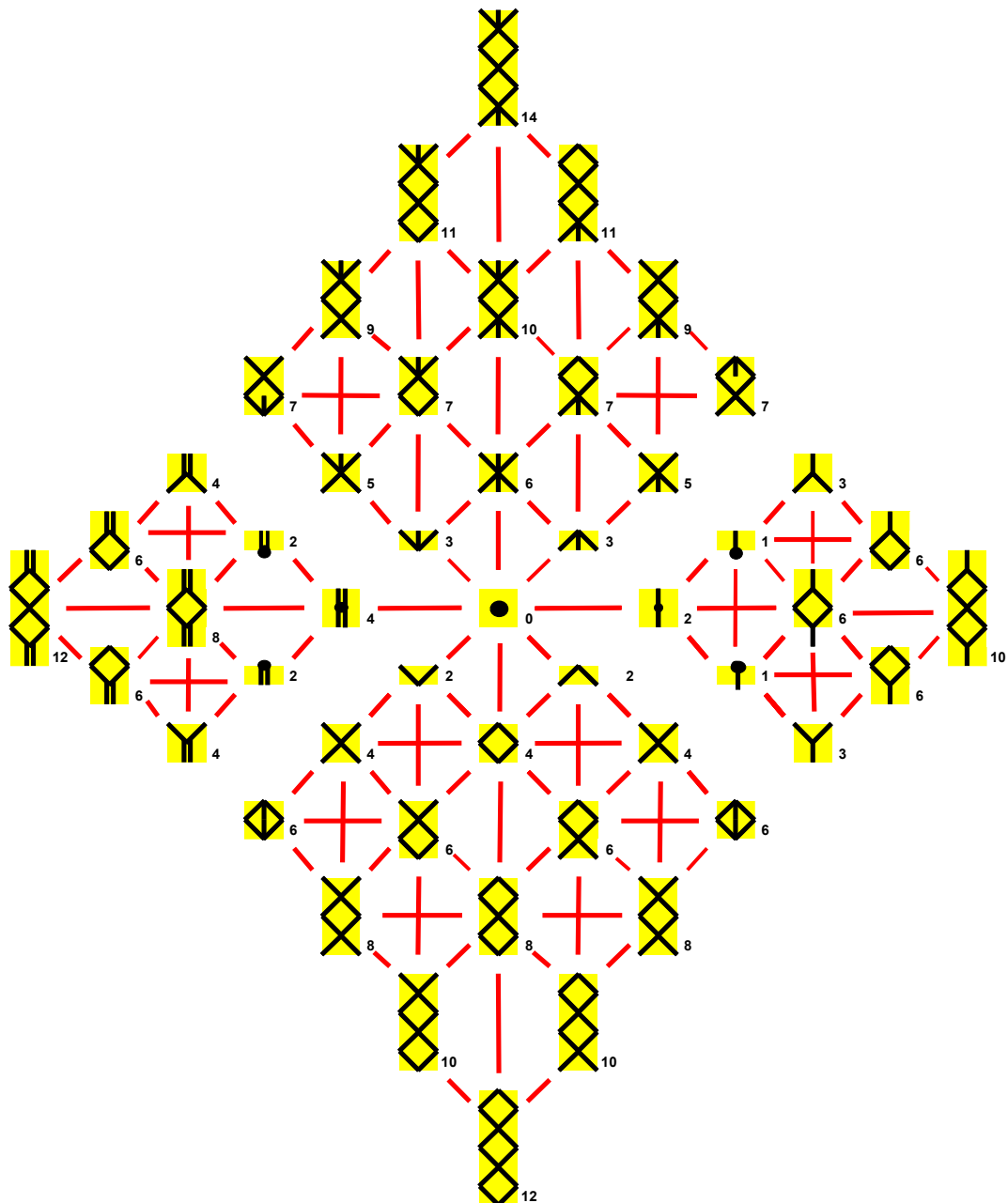


# ESTRUCTURAS, SÍNTESIS Y ANÁLISIS

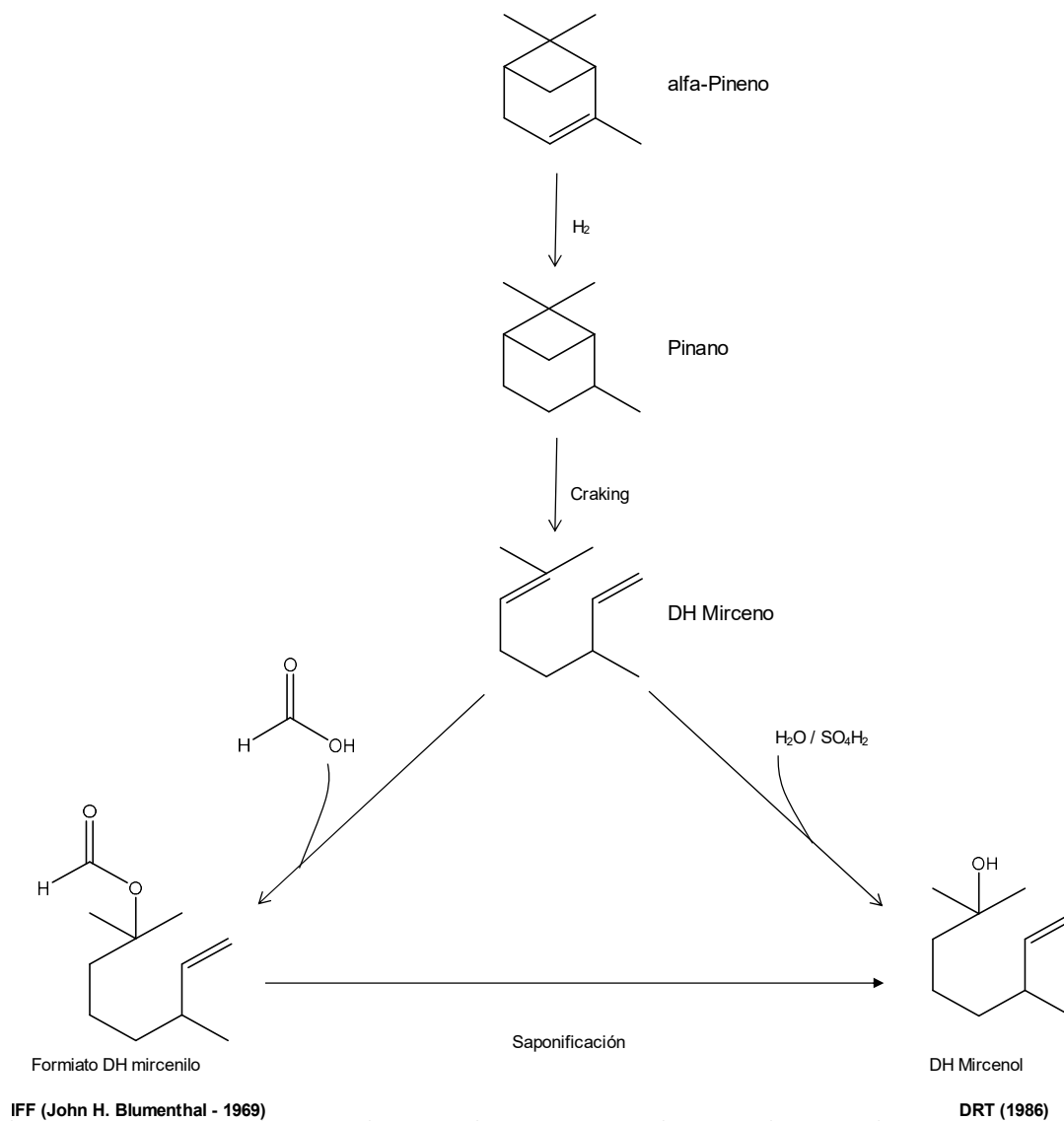
## DE PARTÍCULAS ELEMENTALES I

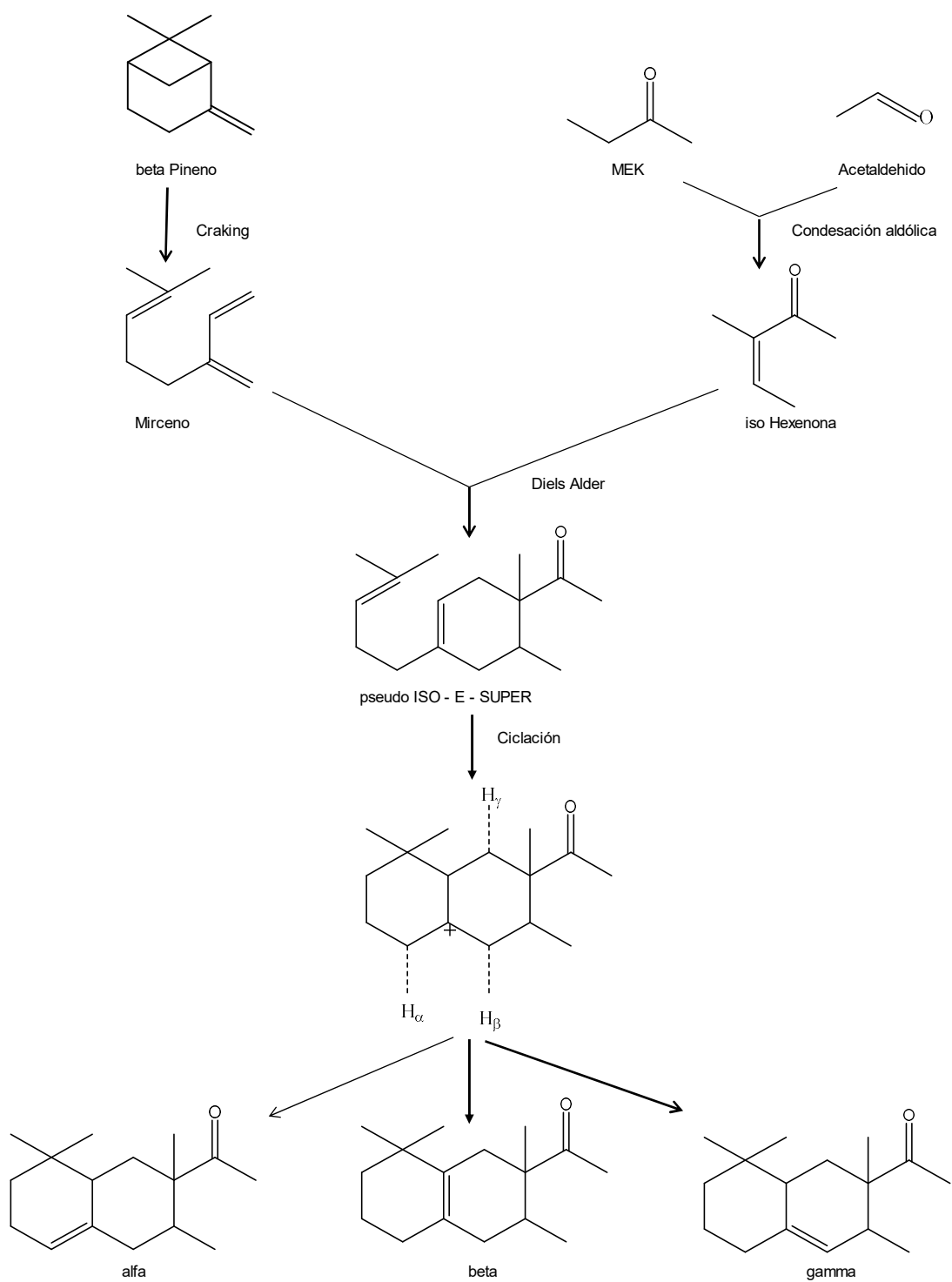


# **ESTRUCTURAS, SÍNTESIS Y ANÁLISIS DE PARTÍCULAS ELEMENTALES**

- 1 Síntesis de moléculas aromáticas**
- 2 La Torre Periódica de los elementos**
- 3 El Modelo Estándar de las partículas (ME)**
- 4 Estructuras de las partículas del ME**
- 5 Síntesis de las partículas del ME**
- 6 El bosón de Higgs**
- 7 El Muón**
- 8 El Tauón**
- 9 Los mesones Pi**
- 10 Los mesones Ka**
- 11 Conversión de fotones en electrones**
- 12 Desintegración beta de n y p**
- 13 Bariones Lambda, Sigma y Xi, neutros**
- 14 Bariones Delta**
- 15 El quark top**
- 16 Interconversión de bosones**
- 17 Teoría de anillos**
- 18 Familias de partículas**
- 19 Índice de partículas**

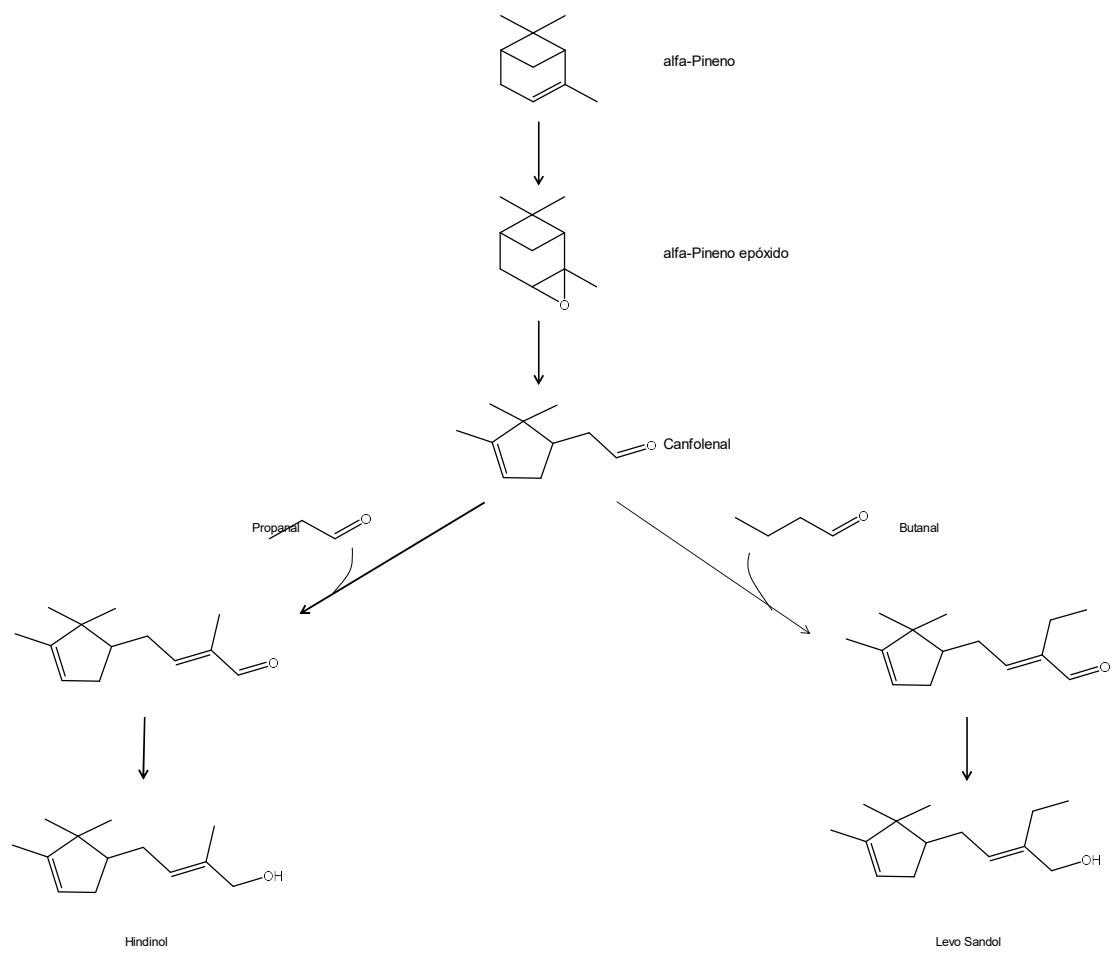
# 1 Síntesis de moléculas aromáticas



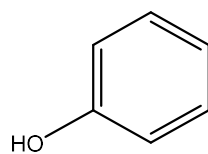


**ISO - E - SUPER**

IFF (John B. Hall - 1975)

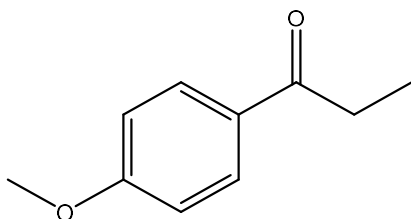
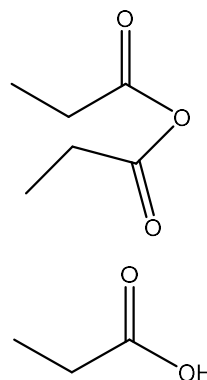
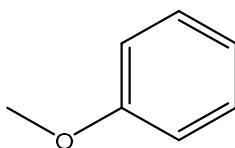


Fenol

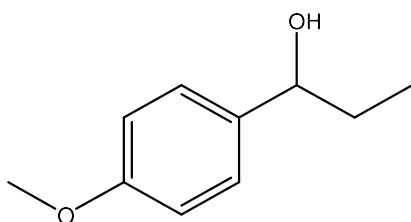


SDM

Anisol

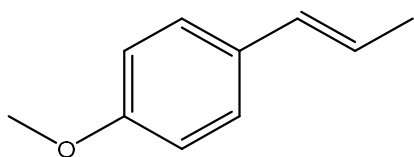


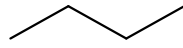
H<sub>2</sub>



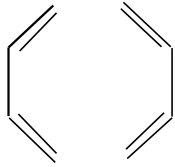
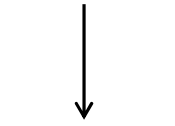
H<sub>2</sub>O

Anetol

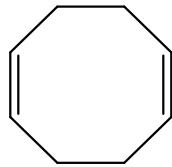




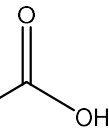
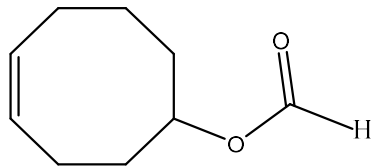
Butano



1,3-Butadieno

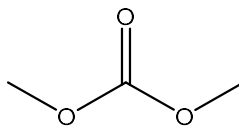
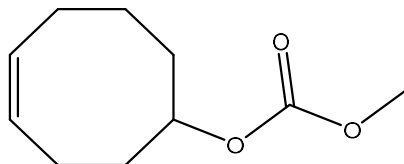


1,5-Ciclo octadieno

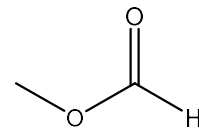


Ácido Fórmico

Ciclo octeno formiato



Carbonato de dimetilo



Formiato de metilo

Violiff

IFF (1981)

## 2 La Torre Periódica de los elementos

f	14	32																																																																																																																																																																																																																																																																																																																																																																																																																																																																																																																																																																																																																																																																																																																																																																																																																																																																																																																																																																																																																																																																																																																																																																																																																																																																																																																																																																																																																																																																																																																																									
---	----	----	--	--	--	--	--	--	--	--	--	--	--	--	--	--	--	--	--	--	--	--	--	--	--	--	--	--	--	--	--	--	--	--	--	--	--	--	--	--	--	--	--	--	--	--	--	--	--	--	--	--	--	--	--	--	--	--	--	--	--	--	--	--	--	--	--	--	--	--	--	--	--	--	--	--	--	--	--	--	--	--	--	--	--	--	--	--	--	--	--	--	--	--	--	--	--	--	--	--	--	--	--	--	--	--	--	--	--	--	--	--	--	--	--	--	--	--	--	--	--	--	--	--	--	--	--	--	--	--	--	--	--	--	--	--	--	--	--	--	--	--	--	--	--	--	--	--	--	--	--	--	--	--	--	--	--	--	--	--	--	--	--	--	--	--	--	--	--	--	--	--	--	--	--	--	--	--	--	--	--	--	--	--	--	--	--	--	--	--	--	--	--	--	--	--	--	--	--	--	--	--	--	--	--	--	--	--	--	--	--	--	--	--	--	--	--	--	--	--	--	--	--	--	--	--	--	--	--	--	--	--	--	--	--	--	--	--	--	--	--	--	--	--	--	--	--	--	--	--	--	--	--	--	--	--	--	--	--	--	--	--	--	--	--	--	--	--	--	--	--	--	--	--	--	--	--	--	--	--	--	--	--	--	--	--	--	--	--	--	--	--	--	--	--	--	--	--	--	--	--	--	--	--	--	--	--	--	--	--	--	--	--	--	--	--	--	--	--	--	--	--	--	--	--	--	--	--	--	--	--	--	--	--	--	--	--	--	--	--	--	--	--	--	--	--	--	--	--	--	--	--	--	--	--	--	--	--	--	--	--	--	--	--	--	--	--	--	--	--	--	--	--	--	--	--	--	--	--	--	--	--	--	--	--	--	--	--	--	--	--	--	--	--	--	--	--	--	--	--	--	--	--	--	--	--	--	--	--	--	--	--	--	--	--	--	--	--	--	--	--	--	--	--	--	--	--	--	--	--	--	--	--	--	--	--	--	--	--	--	--	--	--	--	--	--	--	--	--	--	--	--	--	--	--	--	--	--	--	--	--	--	--	--	--	--	--	--	--	--	--	--	--	--	--	--	--	--	--	--	--	--	--	--	--	--	--	--	--	--	--	--	--	--	--	--	--	--	--	--	--	--	--	--	--	--	--	--	--	--	--	--	--	--	--	--	--	--	--	--	--	--	--	--	--	--	--	--	--	--	--	--	--	--	--	--	--	--	--	--	--	--	--	--	--	--	--	--	--	--	--	--	--	--	--	--	--	--	--	--	--	--	--	--	--	--	--	--	--	--	--	--	--	--	--	--	--	--	--	--	--	--	--	--	--	--	--	--	--	--	--	--	--	--	--	--	--	--	--	--	--	--	--	--	--	--	--	--	--	--	--	--	--	--	--	--	--	--	--	--	--	--	--	--	--	--	--	--	--	--	--	--	--	--	--	--	--	--	--	--	--	--	--	--	--	--	--	--	--	--	--	--	--	--	--	--	--	--	--	--	--	--	--	--	--	--	--	--	--	--	--	--	--	--	--	--	--	--	--	--	--	--	--	--	--	--	--	--	--	--	--	--	--	--	--	--	--	--	--	--	--	--	--	--	--	--	--	--	--	--	--	--	--	--	--	--	--	--	--	--	--	--	--	--	--	--	--	--	--	--	--	--	--	--	--	--	--	--	--	--	--	--	--	--	--	--	--	--	--	--	--	--	--	--	--	--	--	--	--	--	--	--	--	--	--	--	--	--	--	--	--	--	--	--	--	--	--	--	--	--	--	--	--	--	--	--	--	--	--	--	--	--	--	--	--	--	--	--	--	--	--	--	--	--	--	--	--	--	--	--	--	--	--	--	--	--	--	--	--	--	--	--	--	--	--	--	--	--	--	--	--	--	--	--	--	--	--	--	--	--	--	--	--	--	--	--	--	--	--	--	--	--	--	--	--	--	--	--	--	--	--	--	--	--	--	--	--	--	--	--	--	--	--	--	--	--	--	--	--	--	--	--	--	--	--	--	--	--	--	--	--	--	--	--	--	--	--	--	--	--	--	--	--	--	--	--	--	--	--	--	--	--	--	--	--	--	--	--	--	--	--	--	--	--	--	--	--	--	--	--	--	--	--	--	--	--	--	--	--	--	--	--	--	--	--	--	--	--	--	--	--	--	--	--	--	--	--	--	--	--	--	--	--	--	--	--	--	--	--	--	--	--	--	--	--	--	--	--	--	--	--	--	--	--	--	--	--	--	--	--	--	--	--	--	--	--	--	--	--	--	--	--	--	--	--	--	--	--	--	--	--	--	--	--	--	--	--	--	--	--	--	--	--	--	--	--	--	--	--	--	--	--	--	--	--	--	--	--	--	--	--	--	--	--	--	--	--	--	--	--	--	--	--	--	--	--	--	--	--	--	--	--	--	--	--	--	--	--	--	--	--	--	--	--	--	--	--	--	--	--	--	--	--	--	--	--	--	--	--	--	--	--	--	--	--	--	--	--	--	--	--	--	--	--	--	--	--	--	--	--	--	--	--	--	--	--	--	--	--	--	--	--	--	--	--	--	--	--	--	--	--	--	--	--	--	--	--	--	--	--	--	--	--	--	--	--	--	--	--	--	--	--	--	--	--	--	--	--	--	--	--	--	--	--	--	--	--	--	--	--	--	--	--	--	--	--	--	--	--	--	--	--	--	--	--	--	--	--	--	--	--	--	--	--	--	--	--	--	--	--	--	--	--	--	--	--	--	--	--	--	--	--	--	--	--	--	--	--	--	--	--	--	--	--	--	--	--	--	--	--	--	--	--	--	--	--	--	--	--	--	--	--	--	--	--	--	--	--	--	--	--	--	--	--	--	--	--	--	--	--	--	--	--	--	--	--	--	--	--	--	--	--	--	--	--	--	--	--	--	--	--	--	--	--	--	--	--	--	--	--	--	--	--	--	--	--	--	--	--	--	--	--	--	--	--	--	--	--	--	--	--	--	--	--	--	--	--	--	--	--	--	--	--	--	--	--	--	--	--	--	--	--	--	--	--	--	--	--	--	--	--	--	--	--	--	--	--	--	--	--	--	--	--	--	--	--	--	--	--	--	--	--	--	--	--	--	--	--	--	--	--	--	--	--	--	--	--	--	--	--	--	--	--	--	--	--	--	--	--	--	--	--	--	--	--	--	--	--	--	--	--	--	--	--	--	--	--	--	--	--	--	--	--	--	--	--	--	--	--	--	--	--	--	--	--	--	--	--	--	--	--	--	--	--	--	--	--	--	--	--	--	--	--	--	--	--	--	--	--	--	--	--	--	--	--	--	--	--	--	--	--	--	--	--	--	--	--	--	--	--	--	--	--	--	--	--	--	--	--	--	--	--	--

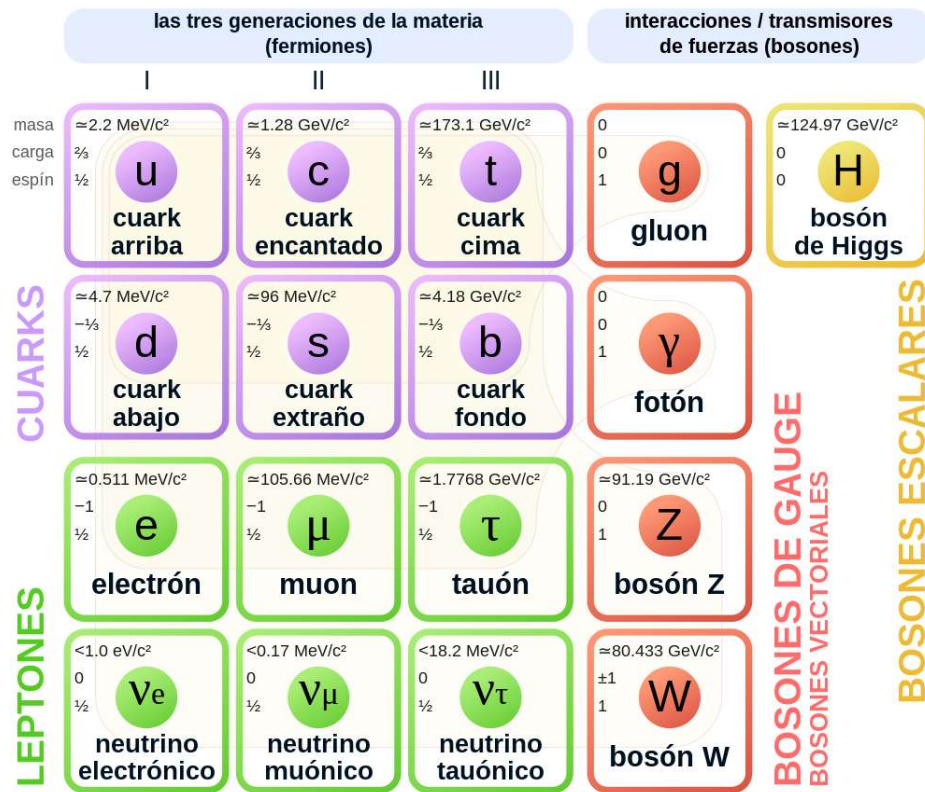


[illegible]

[illegible]

### 3 El Modelo Estándar de las partículas (ME)

#### Modelo estándar de física de partículas



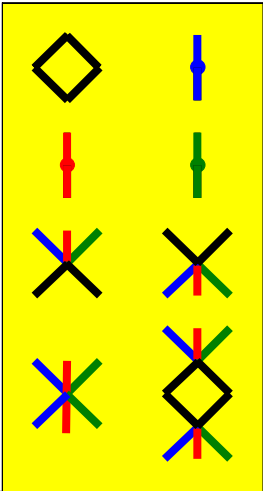
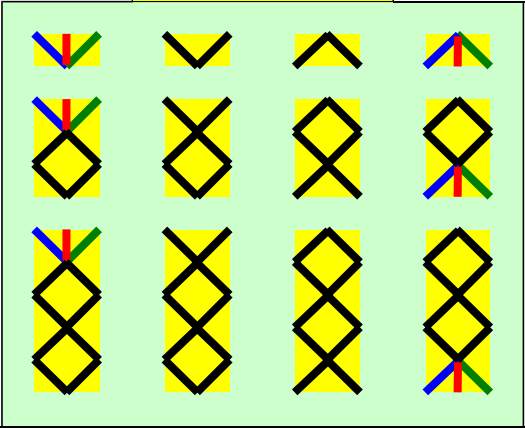
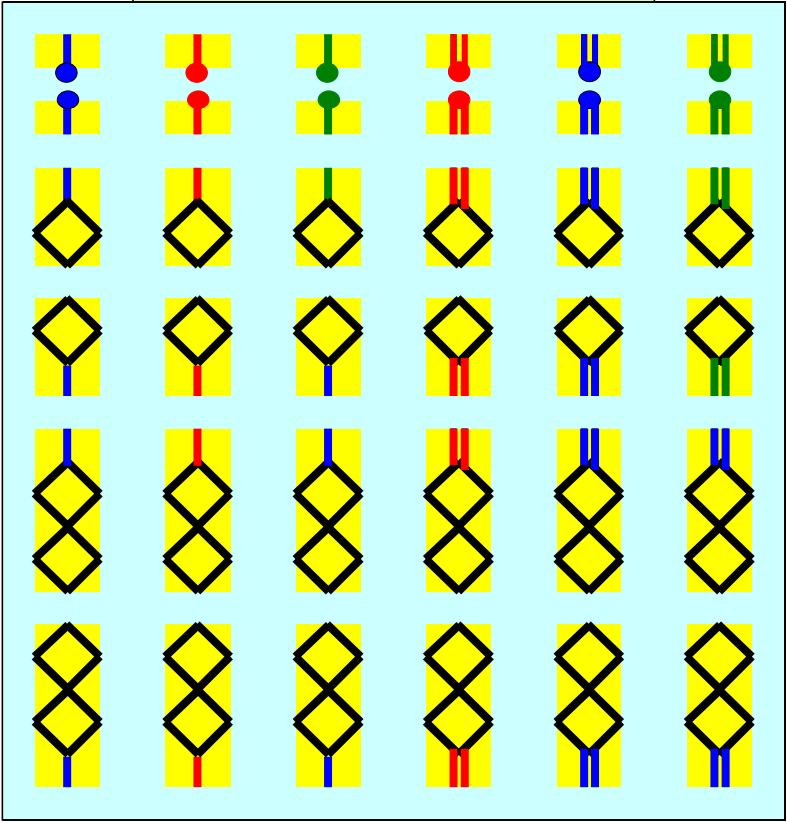
		Bosones			
		$\gamma$	g	W	Z
Fermiones	I	d	u	e	$\nu_e$
	II	s	c	$\mu$	$\nu_\mu$
	III	b	t	$\tau$	$\nu_\tau$
		Quarks		Leptones	

























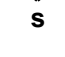
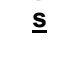
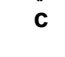
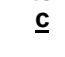
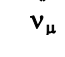
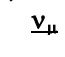
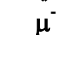
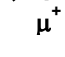
## 4 Estructuras de las partículas del ME

		Bosones							
		$\gamma$	gl	$W^-$	$W^+$	Z	$H_g$		
Fermiones	I	$d^{-1/3}$	$u^{-2/3}$	$u^{+2/3}$	$d^{+1/3}$	$e^-$	$\nu_e$	$\underline{\nu}_e$	$e^+$
	II	$s^{-1/3}$	$c^{-2/3}$	$c^{+2/3}$	$s^{+1/3}$	$\mu^-$	$\nu_\mu$	$\underline{\nu}_\mu$	$\mu^+$
	III	$b^{-1/3}$	$t^{-2/3}$	$t^{+2/3}$	$t^{+1/3}$	$\tau^-$	$\nu_\tau$	$\underline{\nu}_\tau$	$\tau^+$
Quarks					Leptones				

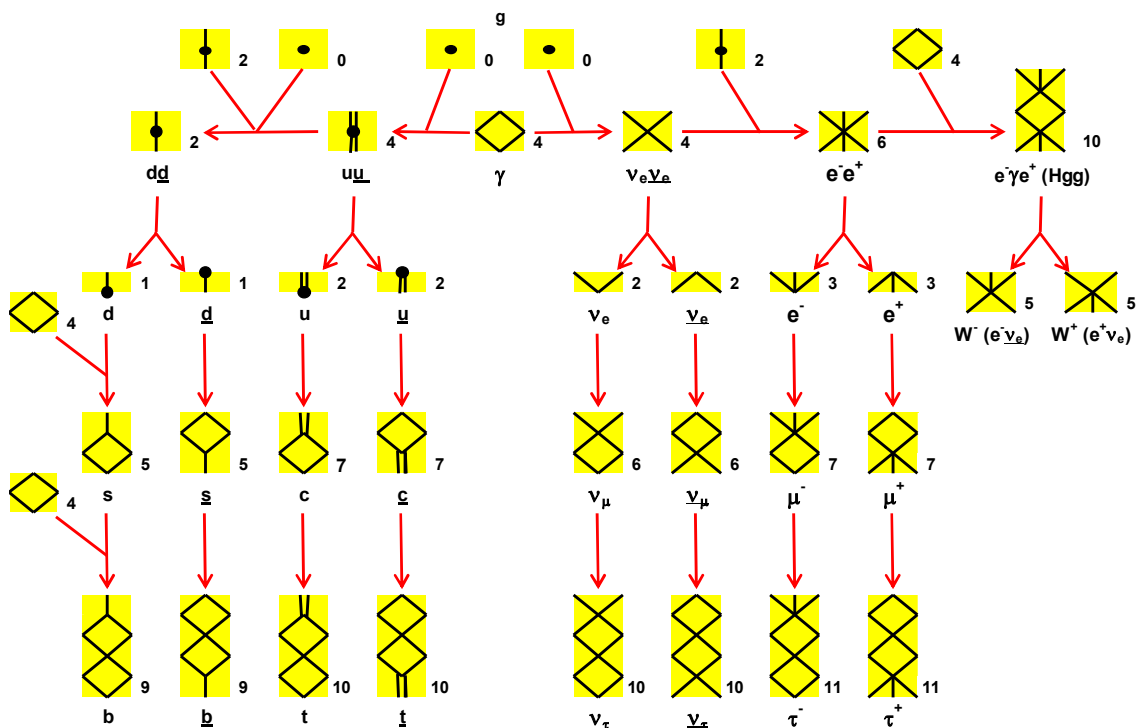
Bosones		$\gamma$		$gl$			
		$W^-$		$W^+$			
		$Z$		$H_{gg}$			
Fermiones	Leptones	$e^-$	$\nu_e$	$\bar{\nu}_e$	$e^+$		
		$\mu^-$	$\nu_\mu$	$\bar{\nu}_\mu$	$\mu^+$		
		$\tau^-$	$\nu_\tau$	$\bar{\nu}_\tau$	$\tau^+$		
	Quarks	$d^{-1/3}$	$d^{-1/3}$	$d^{-1/3}$	$u^{-2/3}$	$u^{-2/3}$	$u^{-2/3}$
		$d^{+1/3}$	$d^{+1/3}$	$d^{+1/3}$	$u^{+2/3}$	$u^{+2/3}$	$u^{+2/3}$
		$s^{-1/3}$	$s^{-1/3}$	$s^{-1/3}$	$c^{-2/3}$	$c^{-2/3}$	$c^{-2/3}$
		$s^{+1/3}$	$s^{+1/3}$	$s^{+1/3}$	$c^{+2/3}$	$c^{+2/3}$	$c^{+2/3}$
		$b^{-1/3}$	$b^{-1/3}$	$b^{-1/3}$	$t^{-2/3}$	$t^{-2/3}$	$t^{-2/3}$
		$t^{+1/3}$	$t^{+1/3}$	$t^{+1/3}$	$t^{+2/3}$	$t^{+2/3}$	$t^{+2/3}$

Fermiones		Bosones
Quarks	Leptones	

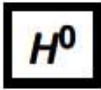


Bosones	Fg	Fem		Ff		Fd		
	 0 g	 4 $\gamma$	 4 $X(\nu_e \bar{\nu}_e)$	 4 $gl(u\bar{u})$	 2 $gl(d\bar{d})$	 6 $Z(e^- e^+)$	 5 $W^-(e^- \bar{\nu}_e)$	 5 $W^+(e^+ \nu_e)$
Fermiones	 1 s	 1 $\bar{s}$	 2 c	 2 $\bar{c}$	 2 $\nu_e$	 2 $\bar{\nu}_e$	 3 $e^-$	 3 $e^+$
	 5 s	 5 $\bar{s}$	 6 c	 6 $\bar{c}$	 6 $\nu_\mu$	 6 $\bar{\nu}_\mu$	 7 $\mu^-$	 7 $\mu^+$
	 9 b	 9 $\bar{b}$	 10 t	 10 $\bar{t}$	 10 $\nu_\tau$	 10 $\bar{\nu}_\tau$	 11 $\tau^-$	 11 $\tau^+$
	Quarks				Leptones			

## 5 Síntesis de las partículas del ME



# 6 El bosón de Higgs



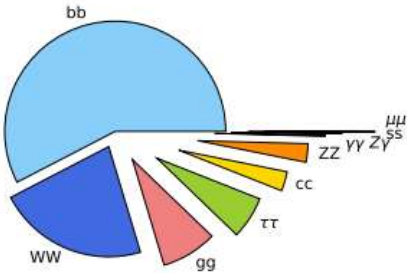
Mass  $m = 125.25 \pm 0.17$  GeV ( $S = 1.5$ )  
 Full width  $\Gamma = 3.2^{+2.8}_{-2.2}$  MeV (assumes equal on-shell and off-shell effective couplings)

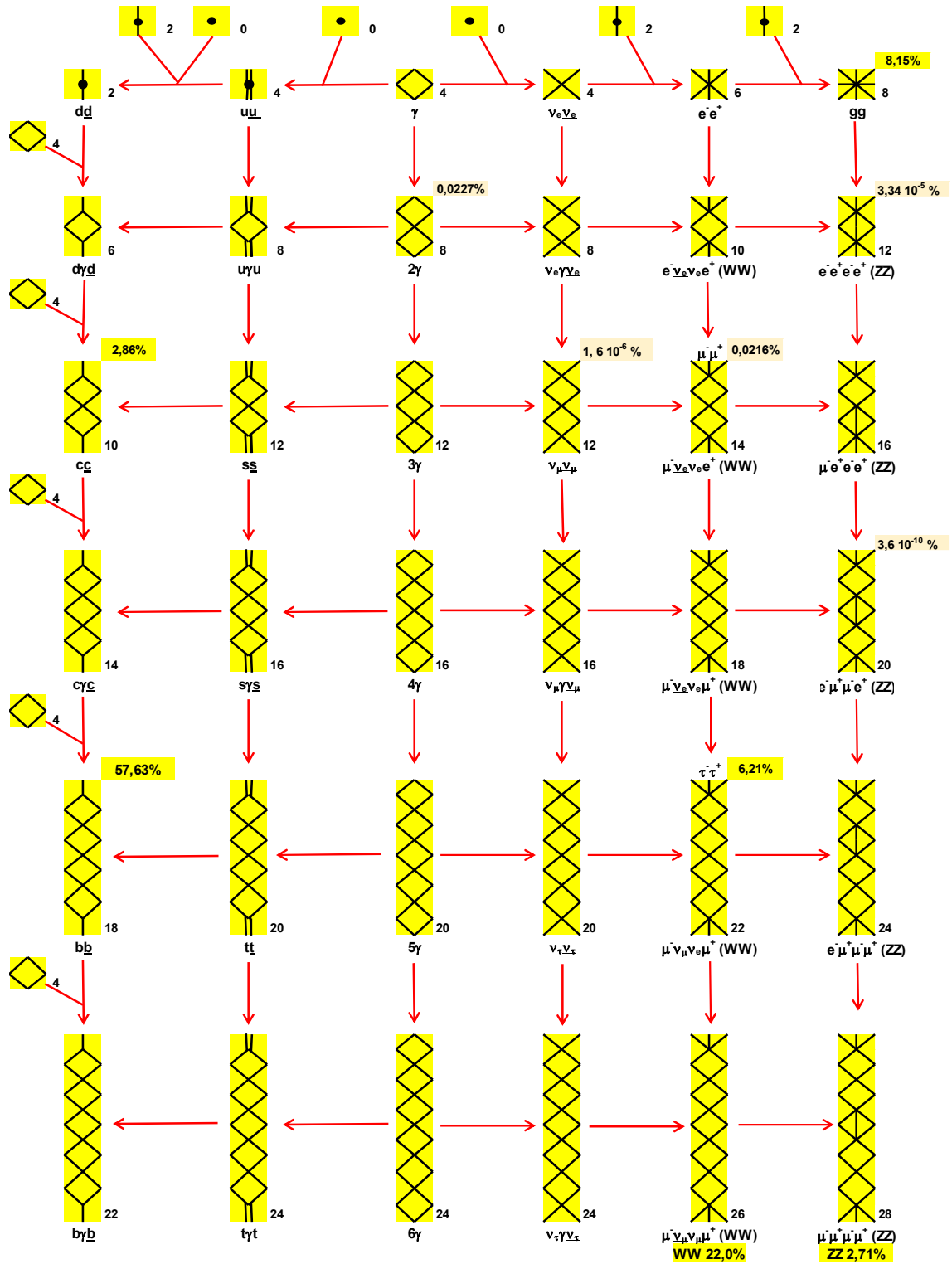
## $H^0$ Signal Strengths in Different Channels

Combined Final States =  $1.13 \pm 0.06$   
 $W W^* = 1.19 \pm 0.12$   
 $Z Z^* = 1.01 \pm 0.07$   
 $\gamma \gamma = 1.10 \pm 0.07$   
 $c \bar{c}$  Final State =  $37 \pm 20$   
 $b \bar{b} = 0.98 \pm 0.12$   
 $\mu^+ \mu^- = 1.19 \pm 0.34$   
 $\tau^+ \tau^- = 1.15^{+0.16}_{-0.15}$   
 $Z \gamma < 3.6$ , CL = 95%

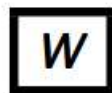
$H^0$  Production Cross Section in  $pp$  Collisions at  $\sqrt{s} = 13$  TeV

Decay channel	Branching fraction (%)	
bb	57.63	$\pm 0.70$
WW	22.00	$\pm 0.33$
gg	8.15	$\pm 0.42$
$\tau \tau$	6.21	$\pm 0.09$
cc	2.86	$\pm 0.09$
ZZ	2.71	$\pm 0.04$
$\gamma \gamma$	0.227	$\pm 0.005$
$Z \gamma$	0.157	$\pm 0.009$
ss	0.025	$\pm 0.001$
$\mu \mu$	0.0216	$\pm 0.0004$









Charge =  $\pm 1\ e$

Mass  $m = 80.377 \pm 0.012\ \text{GeV}$

$W^-$  modes are charge conjugates of the modes below.

<b><math>W^+</math> DECAY MODES</b>	Fraction ( $\Gamma_i/\Gamma$ )	$p$ (MeV/c)
$e^+ \nu$	$(10.71 \pm 0.16)\ \%$	40189
$\mu^+ \nu$	$(10.63 \pm 0.15)\ \%$	40189
$\tau^+ \nu$	$(11.38 \pm 0.21)\ \%$	40170
hadrons	$(67.41 \pm 0.27)\ \%$	—



Charge = 0

Mass  $m = 91.1876 \pm 0.0021\ \text{GeV}$

<b><math>Z</math> DECAY MODES</b>	Fraction ( $\Gamma_i/\Gamma$ )	$p$ (MeV/c)
$e^+ e^-$	$(3.3632 \pm 0.0042)\ \%$	45504
$\mu^+ \mu^-$	$(3.3662 \pm 0.0066)\ \%$	45504
$\tau^+ \tau^-$	$(3.3696 \pm 0.0083)\ \%$	45550
invisible	$(20.000 \pm 0.055)\ \%$	—
hadrons	$(60.911 \pm 0.056)\ \%$	—

## 7 El muón



Mass  $m = 0.1134289259 \pm 0.0000000025$  u

Mass  $m = 105.6583755 \pm 0.0000023$  MeV

Mean life  $\tau = (2.1969811 \pm 0.0000022) \times 10^{-6}$  s

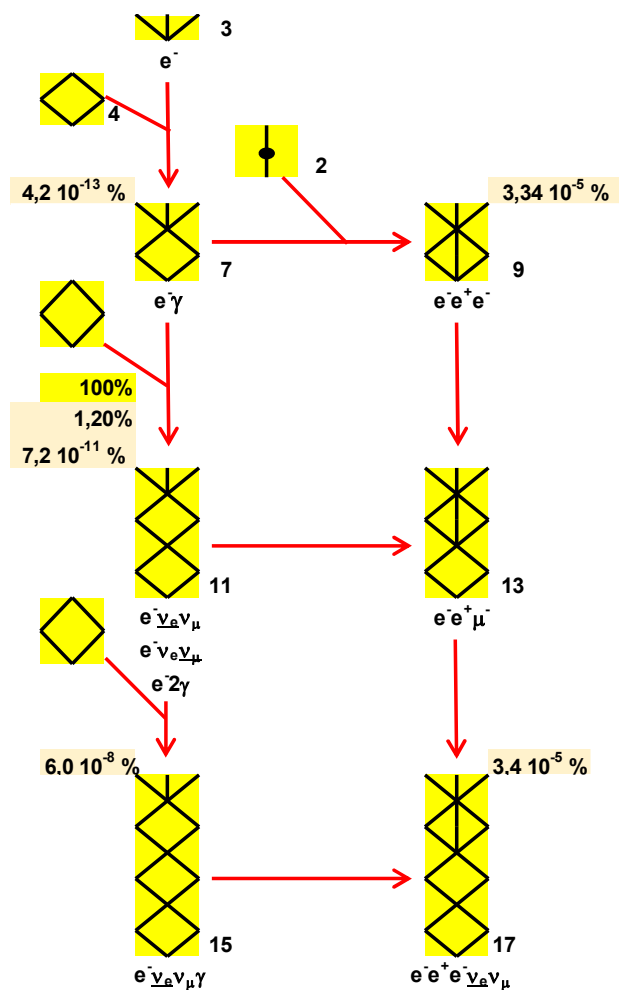
$\tau_{\mu^+}/\tau_{\mu^-} = 1.00002 \pm 0.00008$

$c\tau = 658.6384$  m

$\mu^-$ DECAY MODES	Fraction ( $\Gamma_i/\Gamma$ )	Confidence level	$p$ (MeV/c)
$e^- \bar{\nu}_e \nu_\mu$	$\approx 100\%$		53
$e^- \bar{\nu}_e \nu_\mu \gamma$	[d] $(6.0 \pm 0.5) \times 10^{-8}$		53
$e^- \bar{\nu}_e \nu_\mu e^+ e^-$	[e] $(3.4 \pm 0.4) \times 10^{-5}$		53

### Lepton Family number (LF) violating modes

$e^- \nu_e \bar{\nu}_\mu$	LF	[f] $< 1.2$	%	90%	53
$e^- \gamma$	LF	$< 4.2$	$\times 10^{-13}$	90%	53
$e^- e^+ e^-$	LF	$< 1.0$	$\times 10^{-12}$	90%	53
$e^- 2\gamma$	LF	$< 7.2$	$\times 10^{-11}$	90%	53



## 8 El tauón

$\tau$	Mass $m = 1776.86 \pm 0.12$ MeV
	$(m_{\tau^+} - m_{\tau^-})/m_{\text{average}} < 2.8 \times 10^{-4}$ , CL = 90%
	Mean life $\tau = (290.3 \pm 0.5) \times 10^{-15}$ s
	$c\tau = 87.03$ $\mu\text{m}$

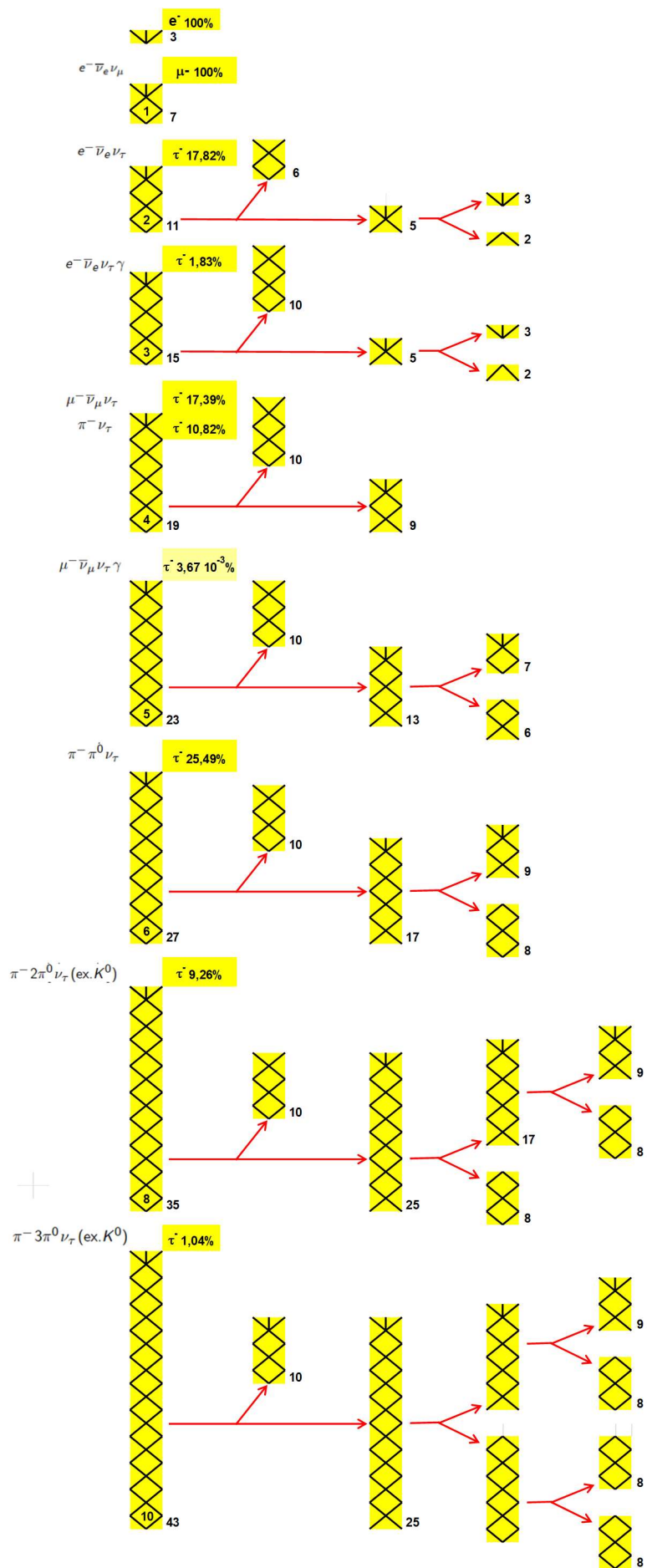
$\tau^-$ DECAY MODES	Fraction ( $\Gamma_i/\Gamma$ )	$p$ (MeV/c)
----------------------	--------------------------------	----------------

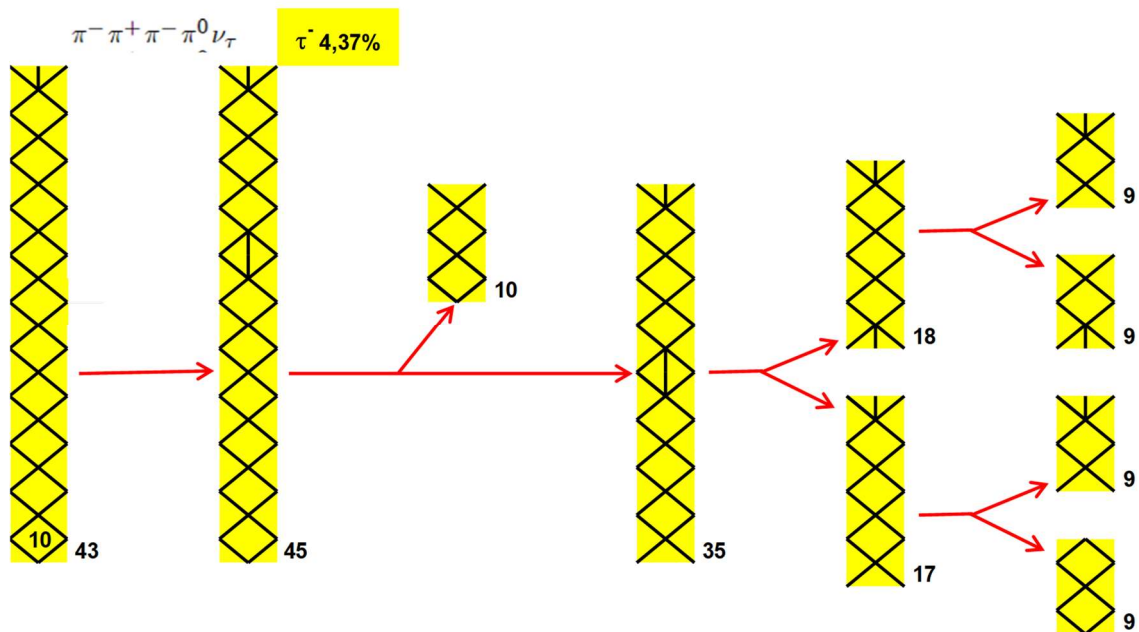
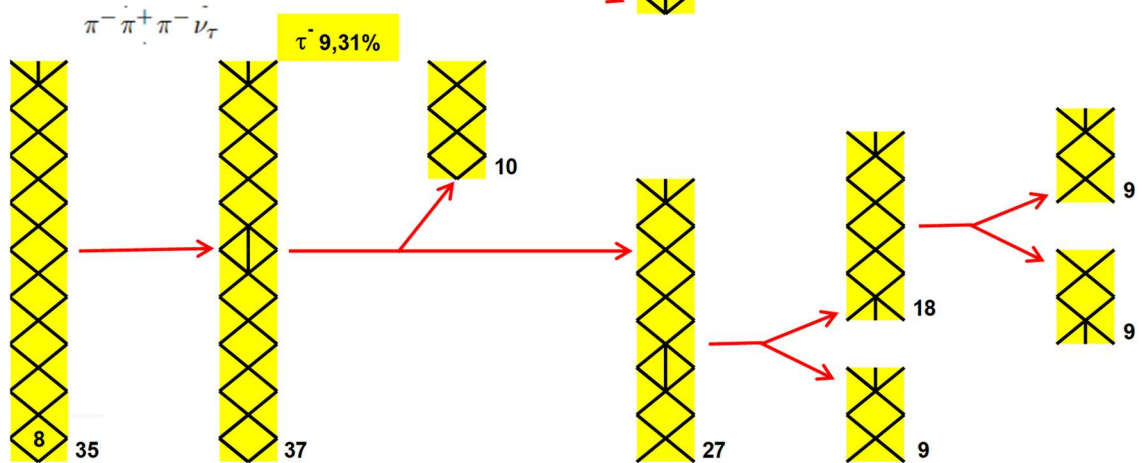
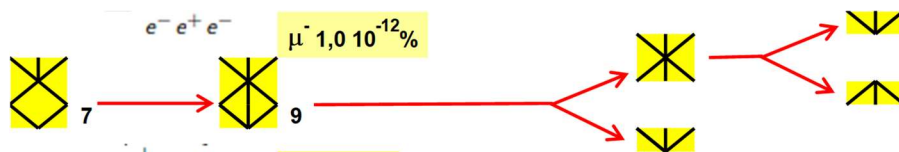
### Modes with one charged particle

$\mu^- \bar{\nu}_\mu \nu_\tau$	$(17.39 \pm 0.04) \%$	885
$\mu^- \bar{\nu}_\mu \nu_\tau \gamma$	$(3.67 \pm 0.08) \times 10^{-3}$	885
$e^- \bar{\nu}_e \nu_\tau$	$(17.82 \pm 0.04) \%$	888
$e^- \bar{\nu}_e \nu_\tau \gamma$	$(1.83 \pm 0.05) \%$	888
$\pi^- \nu_\tau$	$(10.82 \pm 0.05) \%$	883
$K^- \nu_\tau$	$(6.96 \pm 0.10) \times 10^{-3}$	820
$\pi^- \pi^0 \nu_\tau$	$(25.49 \pm 0.09) \%$	878
$\pi^- 2\pi^0 \nu_\tau$ (ex. $K^0$ )	$(9.26 \pm 0.10) \%$	862
$\pi^- 3\pi^0 \nu_\tau$ (ex. $K^0$ )	$(1.04 \pm 0.07) \%$	836
$K^- 3\pi^0 \nu_\tau$ (ex. $K^0, \eta$ )	$(4.8 \pm 2.1) \times 10^{-4}$	765

### Modes with three charged particles

$\pi^- \pi^+ \pi^- \nu_\tau$	$(9.31 \pm 0.05) \%$	861
$\pi^- \pi^+ \pi^- \nu_\tau$ (ex. $K^0$ )	$(9.02 \pm 0.05) \%$	861
$\pi^- \pi^+ \pi^- \nu_\tau$ (ex. $K^0, \omega$ )	$(8.99 \pm 0.05) \%$	861
$\pi^- \pi^+ \pi^- \pi^0 \nu_\tau$	$(4.62 \pm 0.05) \%$	834
$\pi^- \pi^+ \pi^- \pi^0 \nu_\tau$ (ex. $K^0$ )	$(4.49 \pm 0.05) \%$	834
$\pi^- \pi^+ \pi^- \pi^0 \nu_\tau$ (ex. $K^0, \omega$ )	$(2.74 \pm 0.07) \%$	834





## 9 Los mesones Pi



Mass  $m = 134.9768 \pm 0.0005$  MeV

$m_{\pi^\pm} - m_{\pi^0} = 4.5936 \pm 0.0005$  MeV

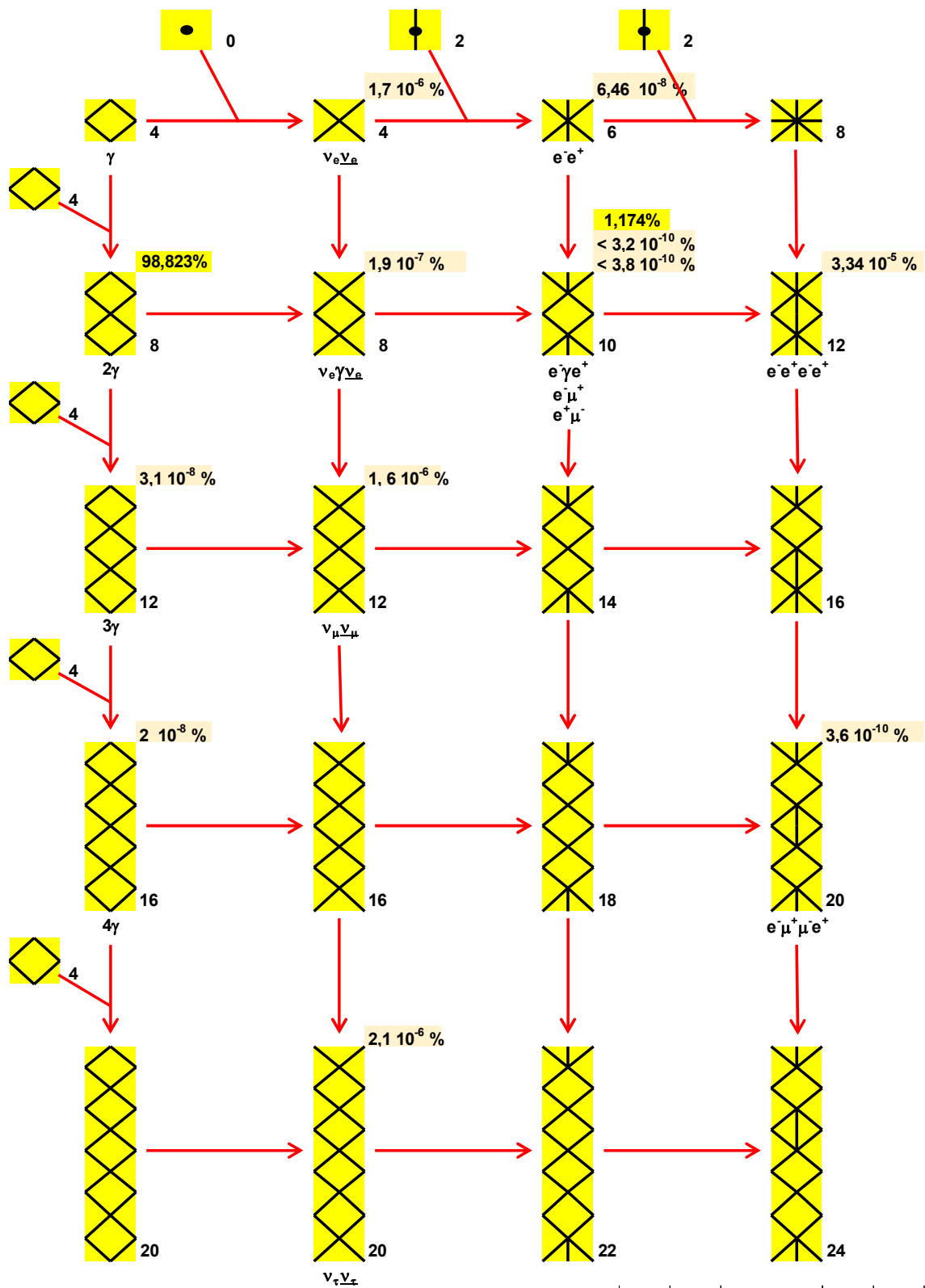
Mean life  $\tau = (8.43 \pm 0.13) \times 10^{-17}$  s

$c\tau = 25.3$  nm

$\pi^0$ DECAY MODES	Fraction ( $\Gamma_i/\Gamma$ )	Scale factor/ Confidence level	$p$ (MeV/c)
$2\gamma$	$(98.823 \pm 0.034) \%$	S=1.5	67
$e^+ e^- \gamma$	$(1.174 \pm 0.035) \%$	S=1.5	67
$\gamma$ positronium	$(1.82 \pm 0.29) \times 10^{-9}$		67
$e^+ e^+ e^- e^-$	$(3.34 \pm 0.16) \times 10^{-5}$		67
$e^+ e^-$	$(6.46 \pm 0.33) \times 10^{-8}$		67
$4\gamma$	$< 2 \times 10^{-8}$	CL=90%	67
$\nu \bar{\nu}$	$< 4.4 \times 10^{-9}$	CL=90%	67
$\nu_e \bar{\nu}_e$	$< 1.7 \times 10^{-6}$	CL=90%	67
$\nu_\mu \bar{\nu}_\mu$	$< 1.6 \times 10^{-6}$	CL=90%	67
$\nu_\tau \bar{\nu}_\tau$	$< 2.1 \times 10^{-6}$	CL=90%	67
$\gamma \nu \bar{\nu}$	$< 1.9 \times 10^{-7}$	CL=90%	67

### Charge conjugation (C) or Lepton Family number (LF) violating modes

$3\gamma$	C	$< 3.1 \times 10^{-8}$	CL=90%	67
$\mu^+ e^-$	LF	$< 3.8 \times 10^{-10}$	CL=90%	26
$\mu^- e^+$	LF	$< 3.2 \times 10^{-10}$	CL=90%	26
$\mu^+ e^- + \mu^- e^+$	LF	$< 3.6 \times 10^{-10}$	CL=90%	26



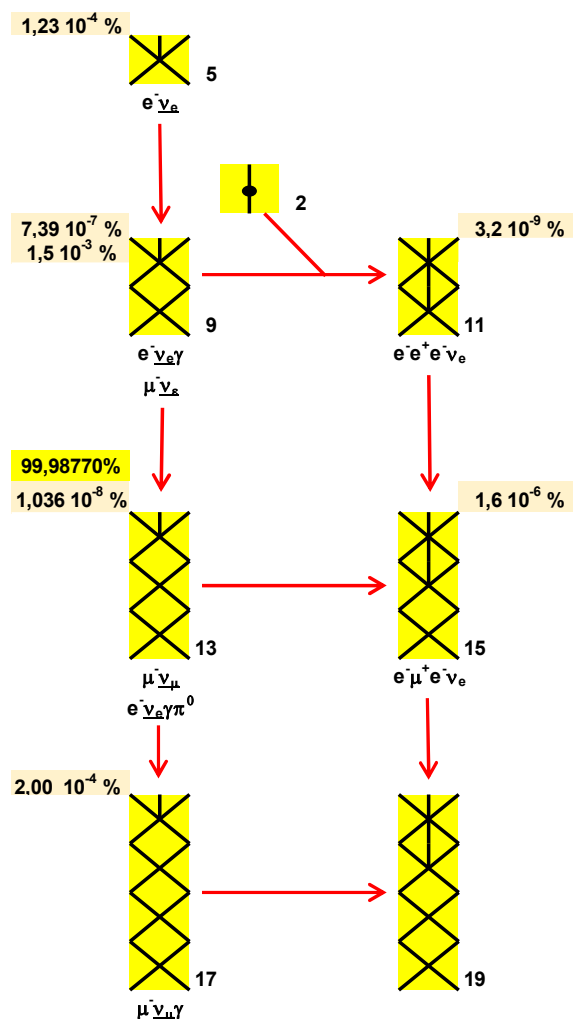




Mass  $m = 139.57039 \pm 0.00018$  MeV (S = 1.8)  
Mean life  $\tau = (2.6033 \pm 0.0005) \times 10^{-8}$  s (S = 1.2)  
 $c\tau = 7.8045$  m

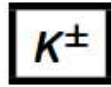
$\pi^-$  modes are charge conjugates of the modes below.

$\pi^+$ DECAY MODES	Fraction ( $\Gamma_i/\Gamma$ )	Confidence level	$P$ (MeV/c)
$\mu^+ \nu_\mu$	$(99.98770 \pm 0.00004) \%$		30
$\mu^+ \nu_\mu \gamma$	$(2.00 \pm 0.25) \times 10^{-4}$		30
$e^+ \nu_e$	$(1.230 \pm 0.004) \times 10^{-4}$		70
$e^+ \nu_e \gamma$	$(7.39 \pm 0.05) \times 10^{-7}$		70
$e^+ \nu_e \pi^0$	$(1.036 \pm 0.006) \times 10^{-8}$		4
$e^+ \nu_e e^+ e^-$	$(3.2 \pm 0.5) \times 10^{-9}$		70
$\mu^+ \nu_\mu \nu \bar{\nu}$	$< 9 \times 10^{-6}$	90%	30
$e^+ \nu_e \nu \bar{\nu}$	$< 1.6 \times 10^{-7}$	90%	70
<b>Lepton Family number (LF) or Lepton number (L) violating modes</b>			
$\mu^+ \bar{\nu}_e$	$< 1.5 \times 10^{-3}$	90%	30
$\mu^+ \nu_e$	$< 8.0 \times 10^{-3}$	90%	30
$\mu^- e^+ e^+ \nu$	$< 1.6 \times 10^{-6}$	90%	30





## 10 Los mesones Ka



Mass  $m = 493.677 \pm 0.016$  MeV

Mean life  $\tau = (1.2380 \pm 0.0020) \times 10^{-8}$  s

$c\tau = 3.711$  m

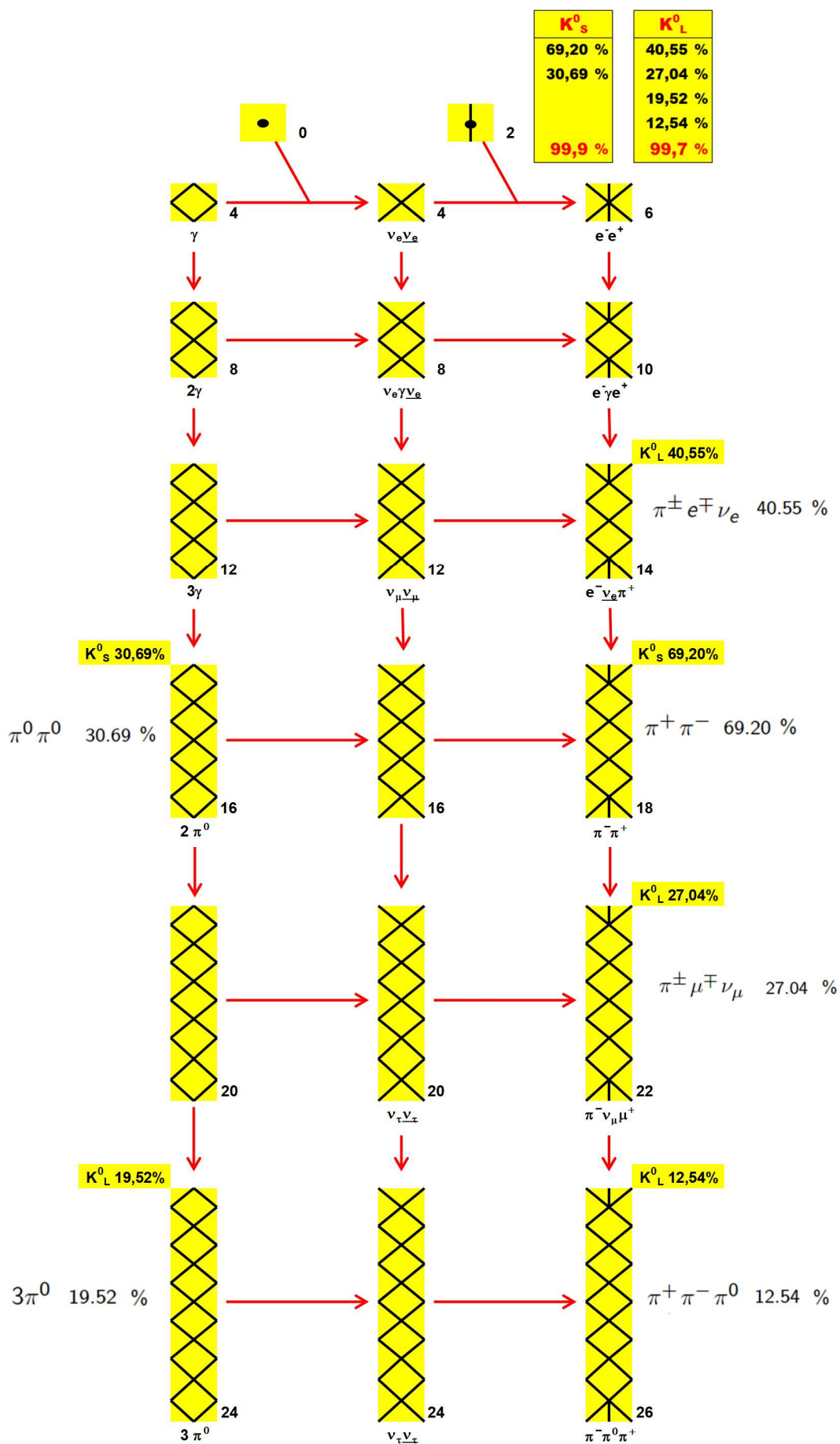
$K^+$ DECAY MODES	Fraction ( $\Gamma_i/\Gamma$ )	Scale factor/ Confidence level(MeV/c)	$p$
<b>Leptonic and semileptonic modes</b>			
$e^+ \nu_e$	$(1.582 \pm 0.007) \times 10^{-5}$		247
$\mu^+ \nu_\mu$	$(63.56 \pm 0.11) \%$	S=1.2	236
$\pi^0 e^+ \nu_e$	$(5.07 \pm 0.04) \%$	S=2.1	228
Called $K_{e3}^+$ .			
$\pi^0 \mu^+ \nu_\mu$	$(3.352 \pm 0.033) \%$	S=1.9	215
Called $K_{\mu3}^+$ .			
$\pi^0 \pi^0 e^+ \nu_e$	$(2.55 \pm 0.04) \times 10^{-5}$	S=1.1	206
$\pi^+ \pi^- e^+ \nu_e$	$(4.247 \pm 0.024) \times 10^{-5}$		203
$\pi^+ \pi^- \mu^+ \nu_\mu$	$(1.4 \pm 0.9) \times 10^{-5}$		151
$\pi^0 \pi^0 \pi^0 e^+ \nu_e$	$< 3.5 \times 10^{-6}$	CL=90%	135
<b>Hadronic modes</b>			
$\pi^+ \pi^0$	$(20.67 \pm 0.08) \%$	S=1.2	205
$\pi^+ \pi^0 \pi^0$	$(1.760 \pm 0.023) \%$	S=1.1	133
$\pi^+ \pi^+ \pi^-$	$(5.583 \pm 0.024) \%$		125
<b>Leptonic and semileptonic modes with photons</b>			
$\mu^+ \nu_\mu \gamma$	[r,s] $(6.2 \pm 0.8) \times 10^{-3}$		236
$\mu^+ \nu_\mu \gamma(\text{SD}^+)$	[a,t] $(1.33 \pm 0.22) \times 10^{-5}$		—
$\mu^+ \nu_\mu \gamma(\text{SD}^+ \text{INT})$	[a,t] $< 2.7 \times 10^{-5}$	CL=90%	—
$\mu^+ \nu_\mu \gamma(\text{SD}^- + \text{SD}^- \text{INT})$	[a,t] $< 2.6 \times 10^{-4}$	CL=90%	—
$e^+ \nu_e \gamma$	$(9.4 \pm 0.4) \times 10^{-6}$		247
$\pi^0 e^+ \nu_e \gamma$	[r,s] $(2.66 \pm 0.09) \times 10^{-4}$		228
$\pi^0 e^+ \nu_e \gamma(\text{SD})$	[a,t] $< 5.3 \times 10^{-5}$	CL=90%	228
$\pi^0 \mu^+ \nu_\mu \gamma$	[r,s] $(1.25 \pm 0.25) \times 10^{-5}$		215
$\pi^0 \pi^0 e^+ \nu_e \gamma$	$< 5 \times 10^{-6}$	CL=90%	206
<b>Hadronic modes with photons or <math>e\bar{e}</math> pairs</b>			
$\pi^+ \pi^0 \gamma(\text{INT})$	$(-4.2 \pm 0.9) \times 10^{-6}$		—
$\pi^+ \pi^0 \gamma(\text{DE})$	[r,u] $(6.0 \pm 0.4) \times 10^{-6}$		205
$\pi^+ \pi^0 e^+ e^-$	$(4.24 \pm 0.14) \times 10^{-6}$		205
$\pi^+ \pi^0 \pi^0 \gamma$	[r,s] $(7.6 \pm_{-3.0}^{+6.0}) \times 10^{-6}$		133
$\pi^+ \pi^+ \pi^- \gamma$	[r,s] $(7.1 \pm 0.5) \times 10^{-6}$		125
$\pi^+ \gamma \gamma$	[r] $(1.01 \pm 0.06) \times 10^{-6}$		227
$\pi^+ 3\gamma$	[r] $< 1.0 \times 10^{-4}$	CL=90%	227
$\pi^+ e^+ e^- \gamma$	$(1.19 \pm 0.13) \times 10^{-8}$		227

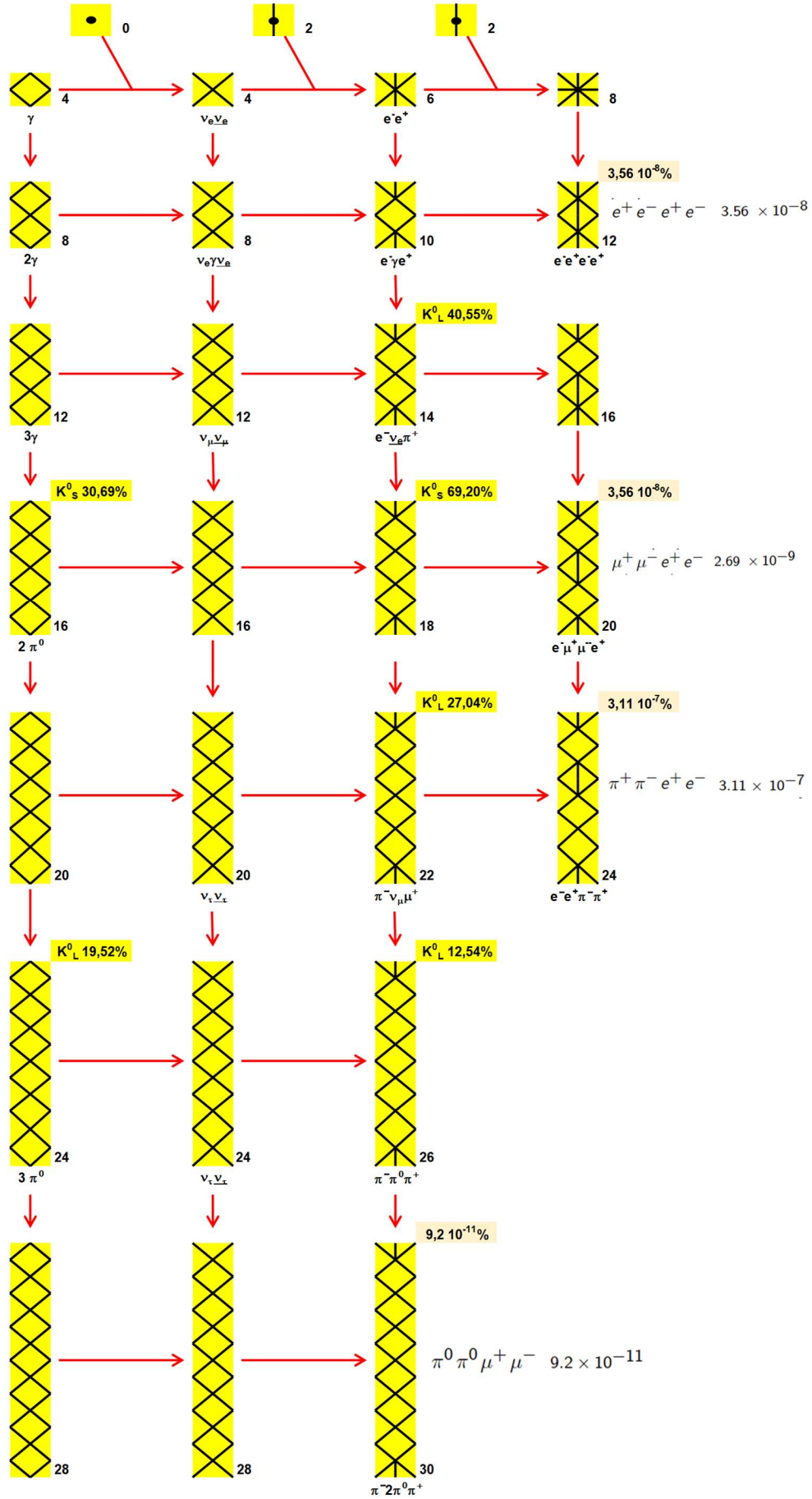
### Leptonic modes with $\ell\bar{\ell}$ pairs

$e^+ \nu_e \nu \bar{\nu}$		$< 6 \times 10^{-5}$	CL=90%	247
$\mu^+ \nu_\mu \nu \bar{\nu}$		$< 1.0 \times 10^{-6}$	CL=90%	236
$e^+ \nu_e e^+ e^-$		$(2.48 \pm 0.20) \times 10^{-8}$		247
$\mu^+ \nu_\mu e^+ e^-$		$(7.06 \pm 0.31) \times 10^{-8}$		236
$e^+ \nu_e \mu^+ \mu^-$		$(1.7 \pm 0.5) \times 10^{-8}$		223
$\mu^+ \nu_\mu \mu^+ \mu^-$		$< 4.1 \times 10^{-7}$	CL=90%	185

### Lepton family number (LF), Lepton number (L), $\Delta S = \Delta Q$ (SQ) violating modes, or $\Delta S = 1$ weak neutral current (S1) modes

$\pi^+ \pi^+ e^- \bar{\nu}_e$	SQ	$< 1.3 \times 10^{-8}$	CL=90%	203
$\pi^+ \pi^+ \mu^- \bar{\nu}_\mu$	SQ	$< 3.0 \times 10^{-6}$	CL=95%	151
$\pi^+ e^+ e^-$	S1	$(3.00 \pm 0.09) \times 10^{-7}$		227
$\pi^+ \mu^+ \mu^-$	S1	$(9.4 \pm 0.6) \times 10^{-8}$	S=2.6	172
$\pi^+ \nu \bar{\nu}$	S1	$(1.14^{+0.40}_{-0.33}) \times 10^{-10}$		227
$\pi^+ \pi^0 \nu \bar{\nu}$	S1	$< 4.3 \times 10^{-5}$	CL=90%	205
$\mu^- \nu e^+ e^+$	LF	$< 2.1 \times 10^{-8}$	CL=90%	236
$\mu^+ \nu_e$	LF [d]	$< 4 \times 10^{-3}$	CL=90%	236
$\pi^+ \mu^+ e^-$	LF	$< 1.3 \times 10^{-11}$	CL=90%	214
$\pi^+ \mu^- e^+$	LF	$< 6.6 \times 10^{-11}$	CL=90%	214
$\pi^- \mu^+ e^+$	L	$< 4.2 \times 10^{-11}$	CL=90%	214
$\pi^- e^+ e^+$	L	$< 2.2 \times 10^{-10}$	CL=90%	227
$\pi^- \mu^+ \mu^+$	L	$< 4.2 \times 10^{-11}$	CL=90%	172
$\mu^+ \bar{\nu}_e$	L [d]	$< 3.3 \times 10^{-3}$	CL=90%	236
$\pi^0 e^+ \bar{\nu}_e$	L	$< 3 \times 10^{-3}$	CL=90%	228
$\pi^+ \gamma$	[v]	$< 2.3 \times 10^{-9}$	CL=90%	227







$$\boxed{K^0} \quad 50\% K_S, 50\% K_L$$

$$\text{Mass } m = 497.611 \pm 0.013 \text{ MeV}$$

$$m_{K^0} - m_{K^\pm} = 3.934 \pm 0.020 \text{ MeV}$$

$$\boxed{K_S^0} \quad \text{Mean life } \tau = (0.8954 \pm 0.0004) \times 10^{-10} \text{ s}$$

$$c\tau = 2.6844 \text{ cm}$$

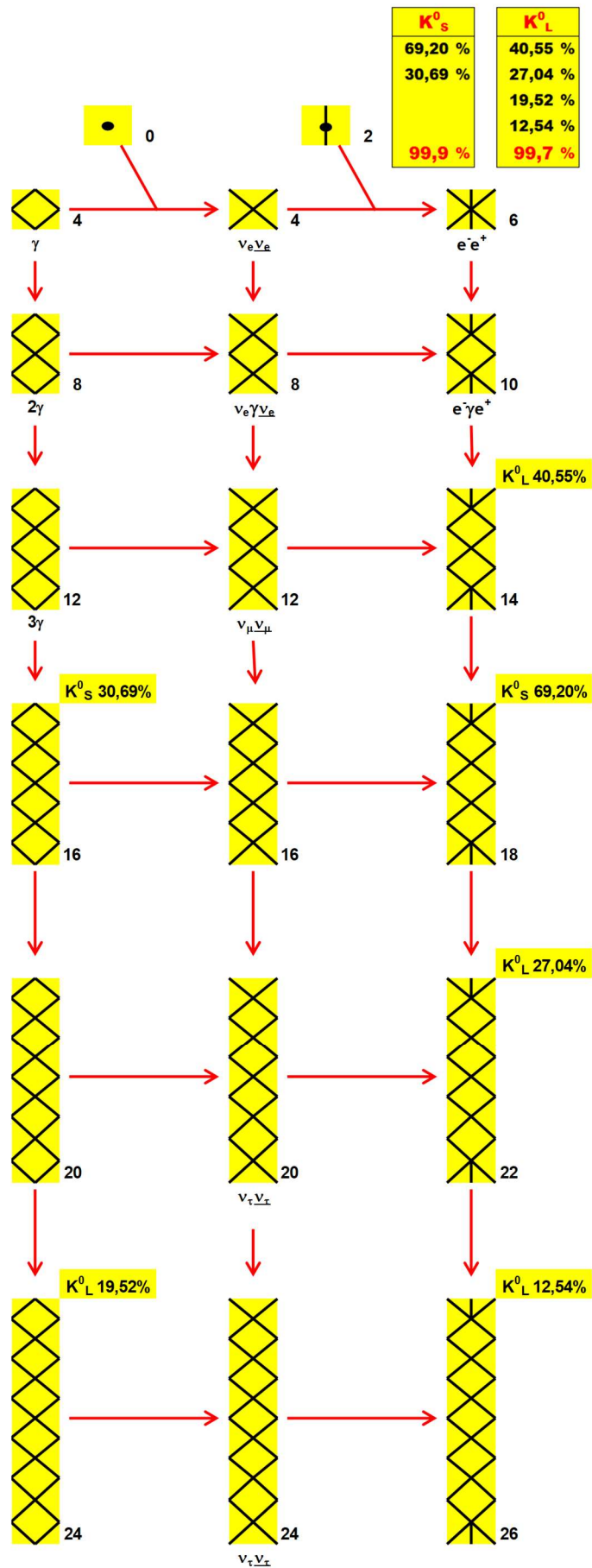
$K_S^0$ DECAY MODES	Fraction ( $\Gamma_i/\Gamma$ )	Scale factor/ Confidence level	$p$ (MeV/c)
<b>Hadronic modes</b>			
$\pi^0 \pi^0$	$(30.69 \pm 0.05) \%$		209
$\pi^+ \pi^-$	$(69.20 \pm 0.05) \%$		206
$\pi^+ \pi^- \pi^0$	$(3.5^{+1.1}_{-0.9}) \times 10^{-7}$		133
<b>Modes with photons or <math>\ell\bar{\ell}</math> pairs</b>			
$\pi^+ \pi^- \gamma$	$(1.79 \pm 0.05) \times 10^{-3}$		206
$\pi^+ \pi^- e^+ e^-$	$(4.79 \pm 0.15) \times 10^{-5}$		206
$\pi^0 \gamma \gamma$	$(4.9 \pm 1.8) \times 10^{-8}$		230
$\gamma \gamma$	$(2.63 \pm 0.17) \times 10^{-6}$	S=3.1	249
<b>Semileptonic modes</b>			
$\pi^\pm e^\mp \nu_e$	$(7.04 \pm 0.08) \times 10^{-4}$		229
<b>CP violating (CP) and <math>\Delta S = 1</math> weak neutral current (S1) modes</b>			
$3\pi^0$	$< 2.6$	$\times 10^{-8}$ CL=90%	139
$\mu^+ \mu^-$	$< 2.1$	$\times 10^{-10}$ CL=90%	225
$e^+ e^-$	$< 9$	$\times 10^{-9}$ CL=90%	249
$\pi^0 e^+ e^-$	$(3.0^{+1.5}_{-1.2}) \times 10^{-9}$		230
$\pi^0 \mu^+ \mu^-$	$(2.9^{+1.5}_{-1.2}) \times 10^{-9}$		177

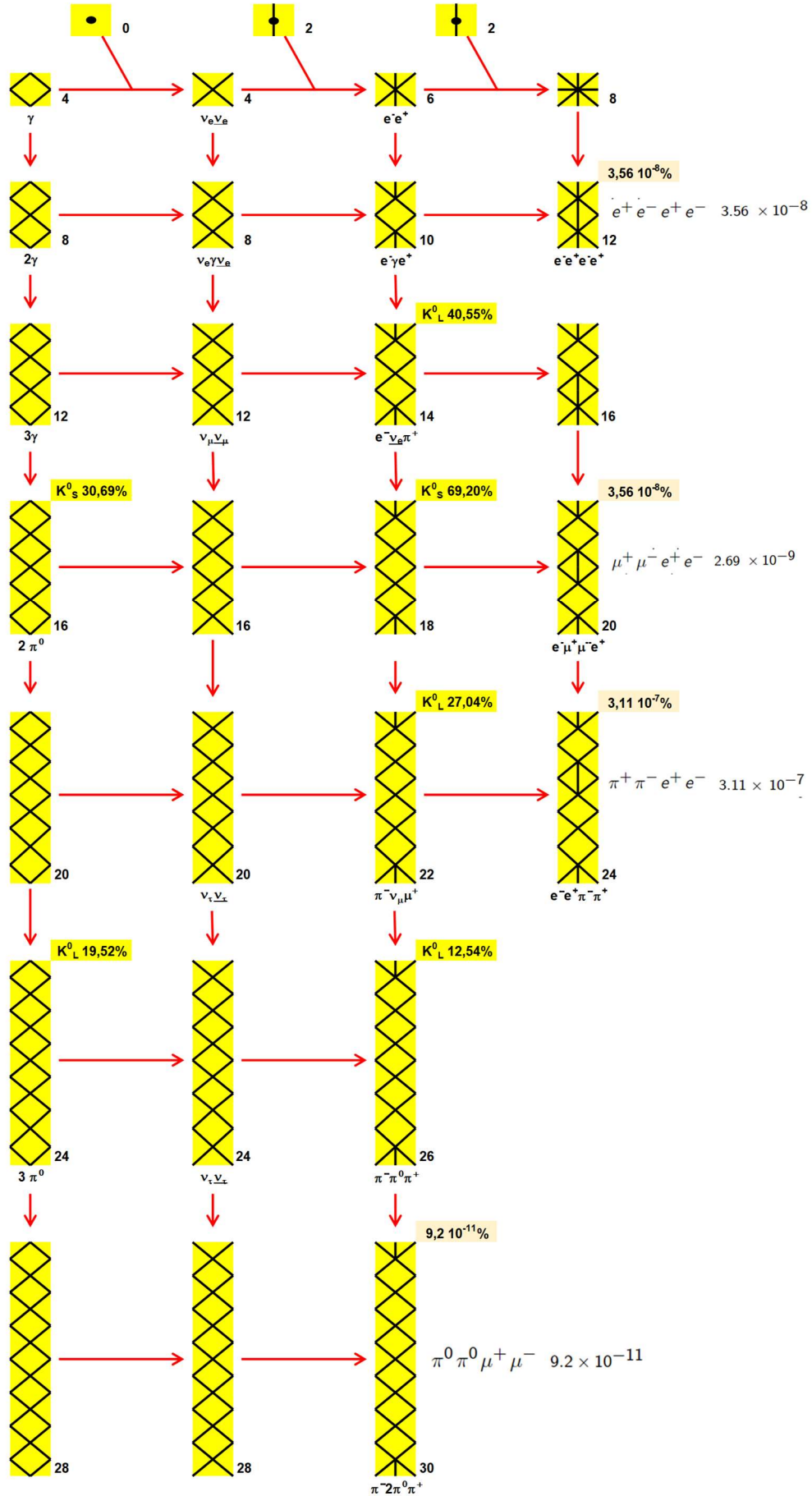
$$K_L^0$$

$$\text{Mean life } \tau = (5.116 \pm 0.021) \times 10^{-8} \text{ s}$$

$$c\tau = 15.34 \text{ m}$$

$K_L^0$ DECAY MODES	Fraction ( $\Gamma_i/\Gamma$ )	Scale factor/ Confidence level (MeV/c)	$p$
<b>Semileptonic modes</b>			
$\pi^+ e^+ \nu_e$ Called $K_{e3}^0$	[aa] $(40.55 \pm 0.11) \%$	S-1.7	229
$\pi^+ \mu^+ \nu_\mu$ Called $K_{\mu3}^0$	[aa] $(27.04 \pm 0.07) \%$	S-1.1	210
$(\pi \mu \text{ atom}) \nu$	$(1.05 \pm 0.11) \times 10^{-7}$		188
$\pi^0 \pi^+ e^+ \nu$	[aa] $(5.20 \pm 0.11) \times 10^{-5}$		207
$\pi^+ e^+ \nu e^+ e^-$	[aa] $(1.26 \pm 0.04) \times 10^{-5}$		229
<b>Hadronic modes, including Charge conjugation x Parity Violating (CPV) modes</b>			
$3\pi^0$	$(19.52 \pm 0.12) \%$	S-1.6	130
$\pi^+ \pi^- \pi^0$	$(12.54 \pm 0.05) \%$		133
$\pi^+ \pi^-$	CPV [cc] $(1.967 \pm 0.010) \times 10^{-3}$	S-1.5	206
$\pi^0 \pi^0$	CPV $(8.64 \pm 0.06) \times 10^{-4}$	S-1.8	209
<b>Semileptonic modes with photons</b>			
$\pi^+ e^+ \nu_e \gamma$	[a,aa,dd] $(1.79 \pm 0.06) \times 10^{-3}$		229
$\pi^+ \mu^+ \nu_\mu \gamma$	$(5.65 \pm 0.21) \times 10^{-4}$		216
<b>Hadronic modes with photons or <math>\ell\ell</math> pairs</b>			
$\pi^0 \pi^0 \gamma$	$< 2.43 \times 10^{-7}$	CL-90%	209
$\pi^+ \pi^- \gamma$	[a,dd] $(4.15 \pm 0.15) \times 10^{-5}$	S-2.8	206
$\pi^+ \pi^- \gamma (\text{DE})$	$(2.84 \pm 0.11) \times 10^{-5}$	S-2.0	206
$\pi^0 2\gamma$	[dd] $(1.273 \pm 0.033) \times 10^{-6}$		230
$\pi^0 \gamma e^+ e^-$	$(1.62 \pm 0.17) \times 10^{-8}$		230
<b>Other modes with photons or <math>\ell\ell</math> pairs</b>			
$2\gamma$	$(5.47 \pm 0.04) \times 10^{-4}$	S-1.1	249
$3\gamma$	$< 7.4 \times 10^{-8}$	CL-90%	249
$e^+ e^- \gamma$	$(9.4 \pm 0.4) \times 10^{-6}$	S-2.0	249
$\mu^+ \mu^- \gamma$	$(1.59 \pm 0.11) \times 10^{-7}$	S-1.3	225
$e^+ e^- \gamma \gamma$	[dd] $(5.95 \pm 0.33) \times 10^{-7}$		249
$\mu^+ \mu^- \gamma \gamma$	[dd] $(1.0 \pm 0.8 \pm 0.6) \times 10^{-8}$		225
<b>Charge conjugation x Parity (CP) or Lepton Family number (LF) violating modes, or <math>\Delta S = 1</math> weak neutral current (SI) modes</b>			
$\mu^+ \mu^-$	SI $(8.84 \pm 0.11) \times 10^{-9}$		225
$e^+ e^-$	SI $(9 \pm 6 \pm 4) \times 10^{-12}$		249
$\pi^+ \pi^- e^+ e^-$	SI [dd] $(3.11 \pm 0.19) \times 10^{-7}$		206
$\pi^0 \pi^0 e^+ e^-$	SI $< 6.6 \times 10^{-9}$	CL-90%	209
$\pi^0 \pi^0 \mu^+ \mu^-$	SI $< 9.2 \times 10^{-11}$	CL-90%	57
$\mu^+ \mu^- e^+ e^-$	SI $(7.69 \pm 0.27) \times 10^{-9}$		225
$e^+ e^- e^+ e^-$	SI $(3.56 \pm 0.21) \times 10^{-8}$		249
$\pi^0 \mu^+ \mu^-$	CP,SI [ee] $< 3.8 \times 10^{-10}$	CL-90%	177
$\pi^0 e^+ e^-$	CP,SI [ee] $< 2.8 \times 10^{-10}$	CL-90%	230
$\pi^0 \nu \bar{\nu}$	CP,SI [ff] $< 3.0 \times 10^{-9}$	CL-90%	230
$\pi^0 \pi^0 \nu \bar{\nu}$	SI $< 8.1 \times 10^{-7}$	CL-90%	209
$e^+ \mu^-$	LF [aa] $< 4.7 \times 10^{-12}$	CL-90%	238
$e^+ e^+ \mu^- \mu^-$	LF [aa] $< 4.12 \times 10^{-11}$	CL-90%	225
$\pi^0 \mu^- e^+$	LF [aa] $< 7.6 \times 10^{-11}$	CL-90%	217
$\pi^0 \pi^0 \mu^- e^+$	LF $< 1.7 \times 10^{-10}$	CL-90%	159
<b>Lorentz invariance violating modes</b>			
$\pi^0 \gamma$	$< 1.7 \times 10^{-7}$	CL-90%	230



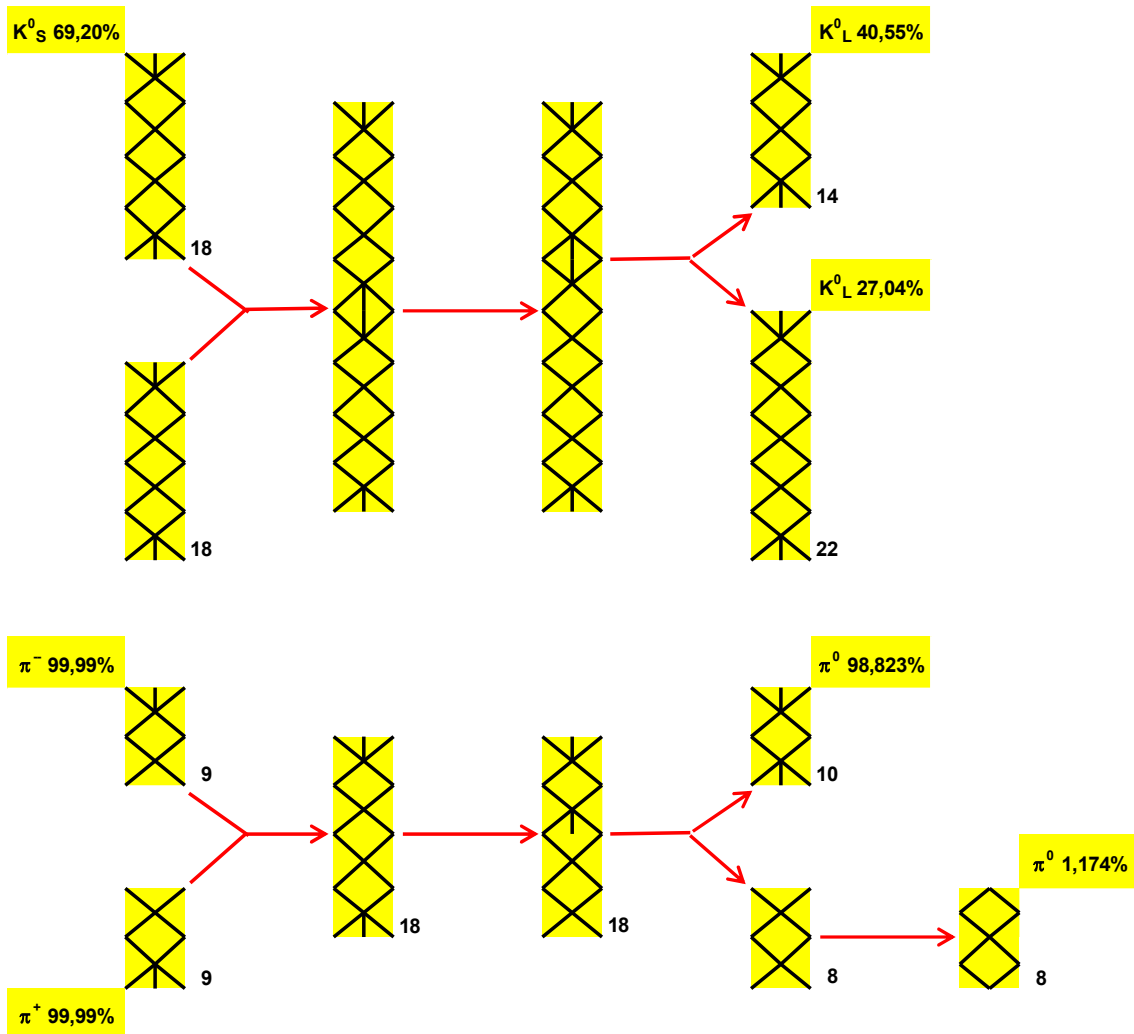




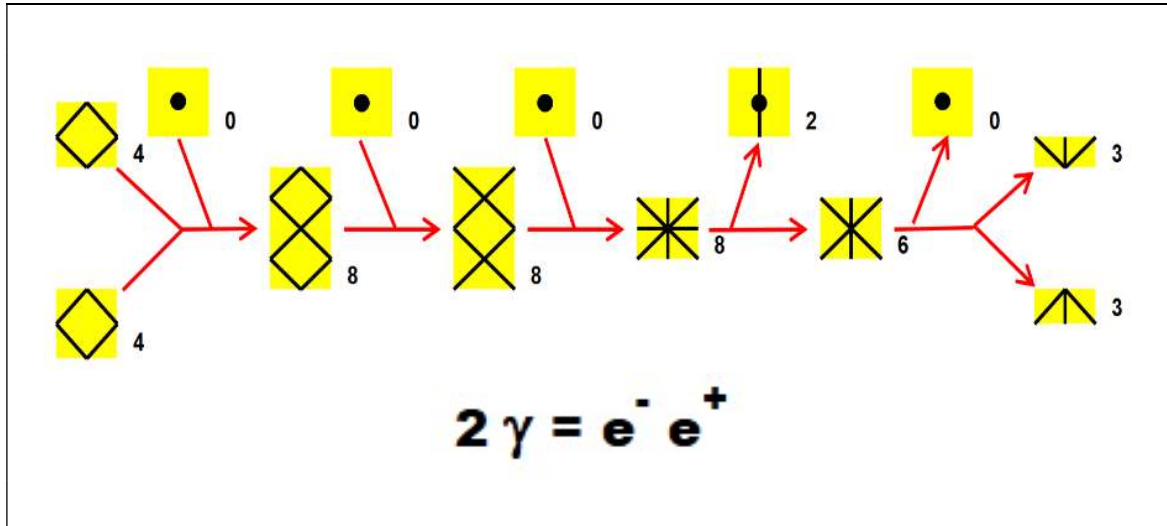
## Dismutación o Desproporción de $K^0$ y $\pi^0$

$$2A = A' + A''$$

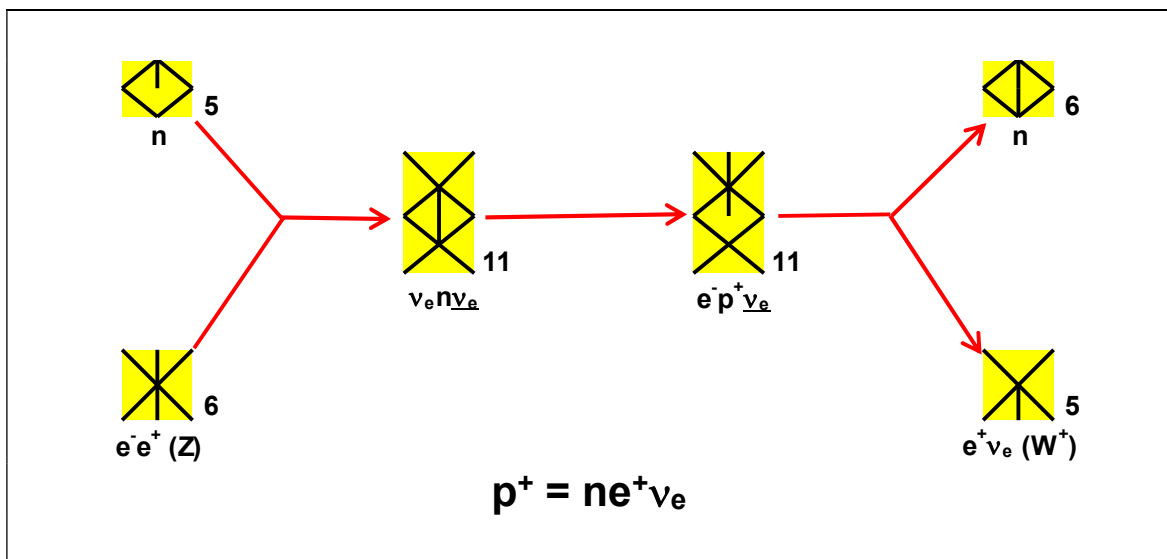
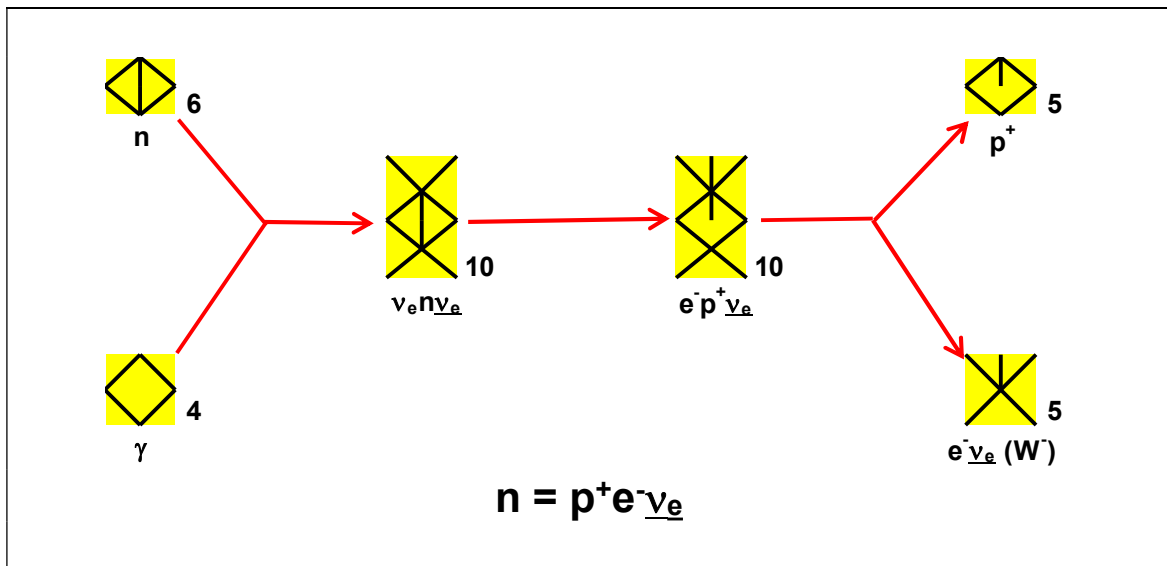
$$A + \underline{A} = A' + A''$$

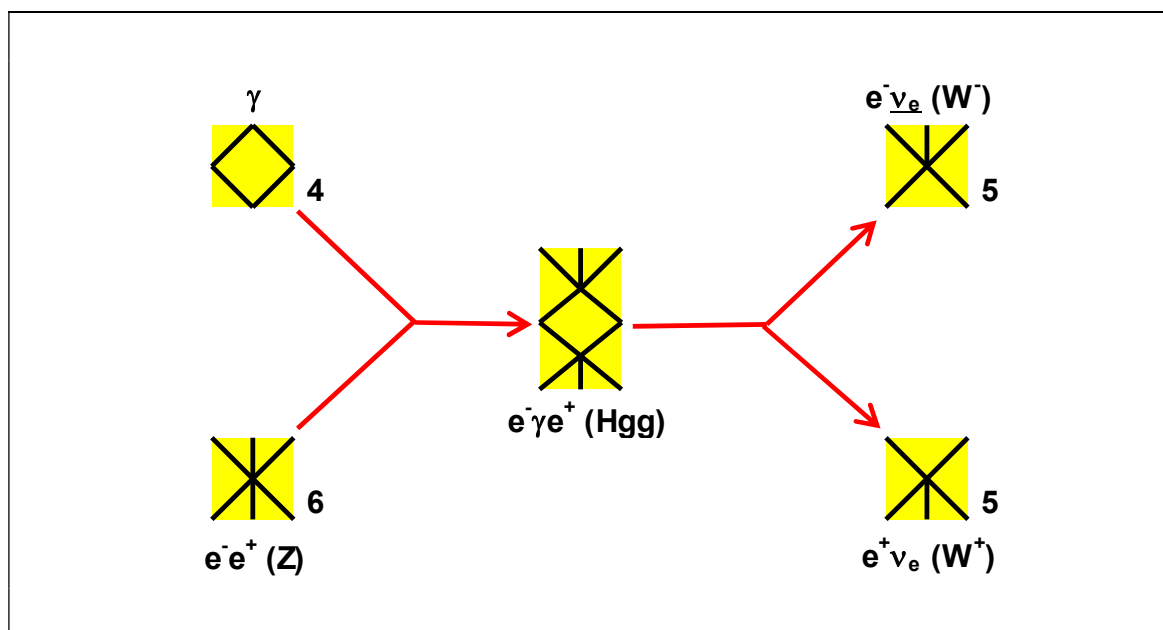
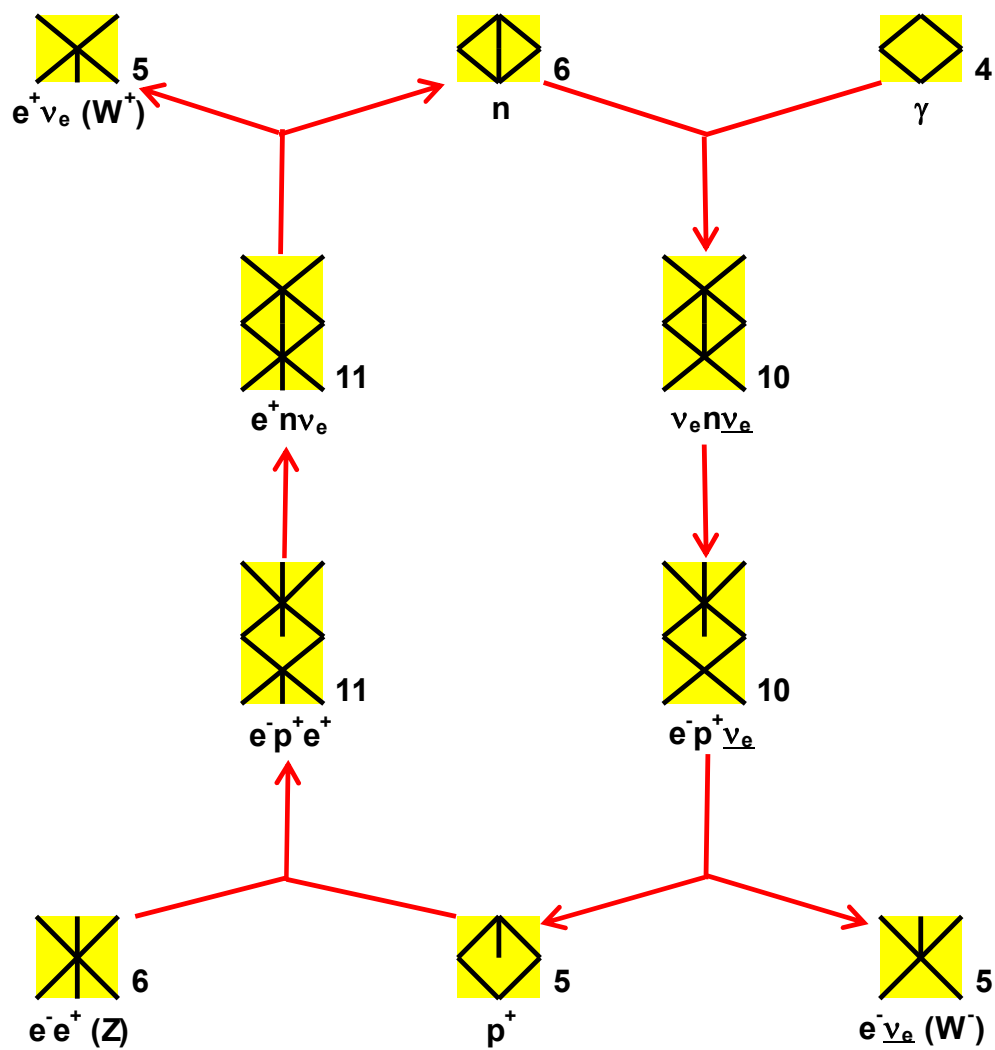


## 11 Conversión de fotones en electrones



## 12 Desintegración beta de n y p





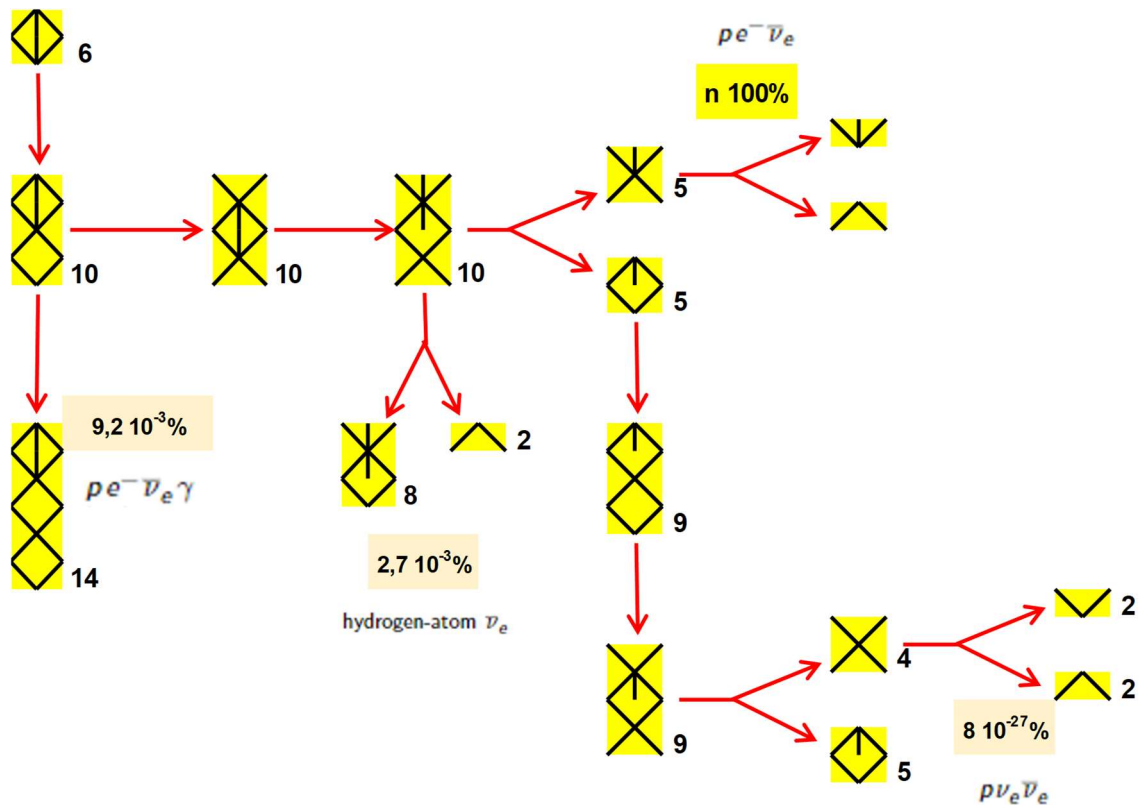


Mass  $m = 1.0086649160 \pm 0.0000000005$  u  
Mass  $m = 939.5654205 \pm 0.0000005$  MeV [a]  
 $(m_n - m_{\bar{n}}) / m_n = (9 \pm 6) \times 10^{-5}$   
 $m_n - m_p = 1.2933324 \pm 0.0000005$  MeV  
 $= 0.00138844919(45)$  u  
Mean life  $\tau = 878.4 \pm 0.5$  s ( $S = 1.8$ )  
 $c\tau = 2.6335 \times 10^8$  km

$n$ DECAY MODES	Fraction ( $\Gamma_i/\Gamma$ )	Confidence level	$\rho$ (MeV/c)
$p e^- \bar{\nu}_e$	100 %		1
$p e^- \bar{\nu}_e \gamma$	[1] $(9.2 \pm 0.7) \times 10^{-3}$		1
hydrogen-atom $\bar{\nu}_e$	$< 2.7 \times 10^{-3}$	95%	1.19

Charge conservation ( $Q$ ) violating mode

$p \nu_e \bar{\nu}_e$	$Q$	$< 8 \times 10^{-27}$	68%	1
-----------------------	-----	-----------------------	-----	---



## 13 Bariones Lambda, Sigma y Xi, neutros



Mass  $m = 1115.683 \pm 0.006$  MeV  
 $(m_{\Lambda} - m_{\Lambda}) / m_{\Lambda} = (-0.1 \pm 1.1) \times 10^{-5}$   
 Mean life  $\tau = (2.632 \pm 0.020) \times 10^{-10}$  s  
 $c\tau = 7.89$  cm

$\Lambda$ DECAY MODES	Fraction ( $\Gamma_i/\Gamma$ )	Confidence level	$P$ (MeV/c)
$p\pi^-$	$(63.9 \pm 0.5) \%$		101
$n\pi^0$	$(35.8 \pm 0.5) \%$		104
$n\gamma$	$(1.75 \pm 0.15) \times 10^{-3}$		162
$p\pi^-\gamma$	[o] $(8.4 \pm 1.4) \times 10^{-4}$		101
$p e^- \bar{\nu}_e$	$(8.32 \pm 0.14) \times 10^{-4}$		163
$p\mu^- \bar{\nu}_\mu$	$(1.57 \pm 0.35) \times 10^{-4}$		131

### Lepton (L) and/or Baryon (B) number violating decay modes

$\pi^+ e^-$	$L, B$	$< 6$	$\times 10^{-7}$	90%	549
$\pi^+ \mu^-$	$L, B$	$< 6$	$\times 10^{-7}$	90%	544
$\pi^- e^+$	$L, B$	$< 4$	$\times 10^{-7}$	90%	549
$\pi^- \mu^+$	$L, B$	$< 6$	$\times 10^{-7}$	90%	544
$K^+ e^-$	$L, B$	$< 2$	$\times 10^{-6}$	90%	449
$K^+ \mu^-$	$L, B$	$< 3$	$\times 10^{-6}$	90%	441
$K^- e^+$	$L, B$	$< 2$	$\times 10^{-6}$	90%	449
$K^- \mu^+$	$L, B$	$< 3$	$\times 10^{-6}$	90%	441
$K_S^0 \nu$	$L, B$	$< 2$	$\times 10^{-5}$	90%	447
$\bar{p}\pi^+$	$B$	$< 9$	$\times 10^{-7}$	90%	101



Mass  $m = 1192.642 \pm 0.024$  MeV  
 $m_{\Sigma^-} - m_{\Sigma^0} = 4.807 \pm 0.035$  MeV ( $S = 1.1$ )  
 $m_{\Sigma^0} - m_{\Lambda} = 76.959 \pm 0.023$  MeV  
 Mean life  $\tau = (7.4 \pm 0.7) \times 10^{-20}$  s  
 $c\tau = 2.22 \times 10^{-11}$  m

$\Sigma^0$ DECAY MODES	Fraction ( $\Gamma_i/\Gamma$ )	Confidence level	$P$ (MeV/c)
$\Lambda\gamma$	100 %		74
$\Lambda\gamma\gamma$	$< 3 \%$	90%	74
$\Lambda e^+ e^-$	[q] $5 \times 10^{-3}$		74

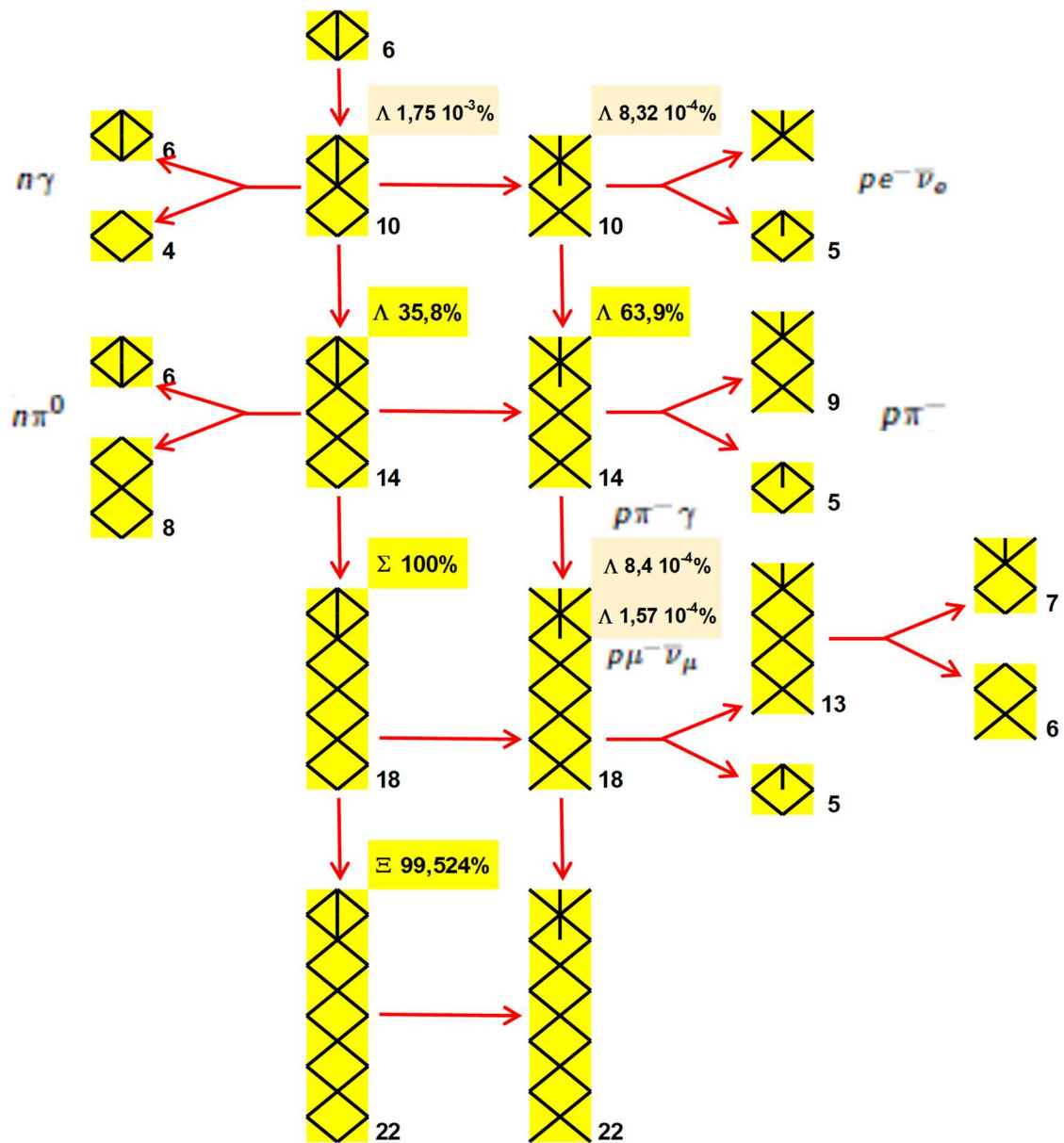


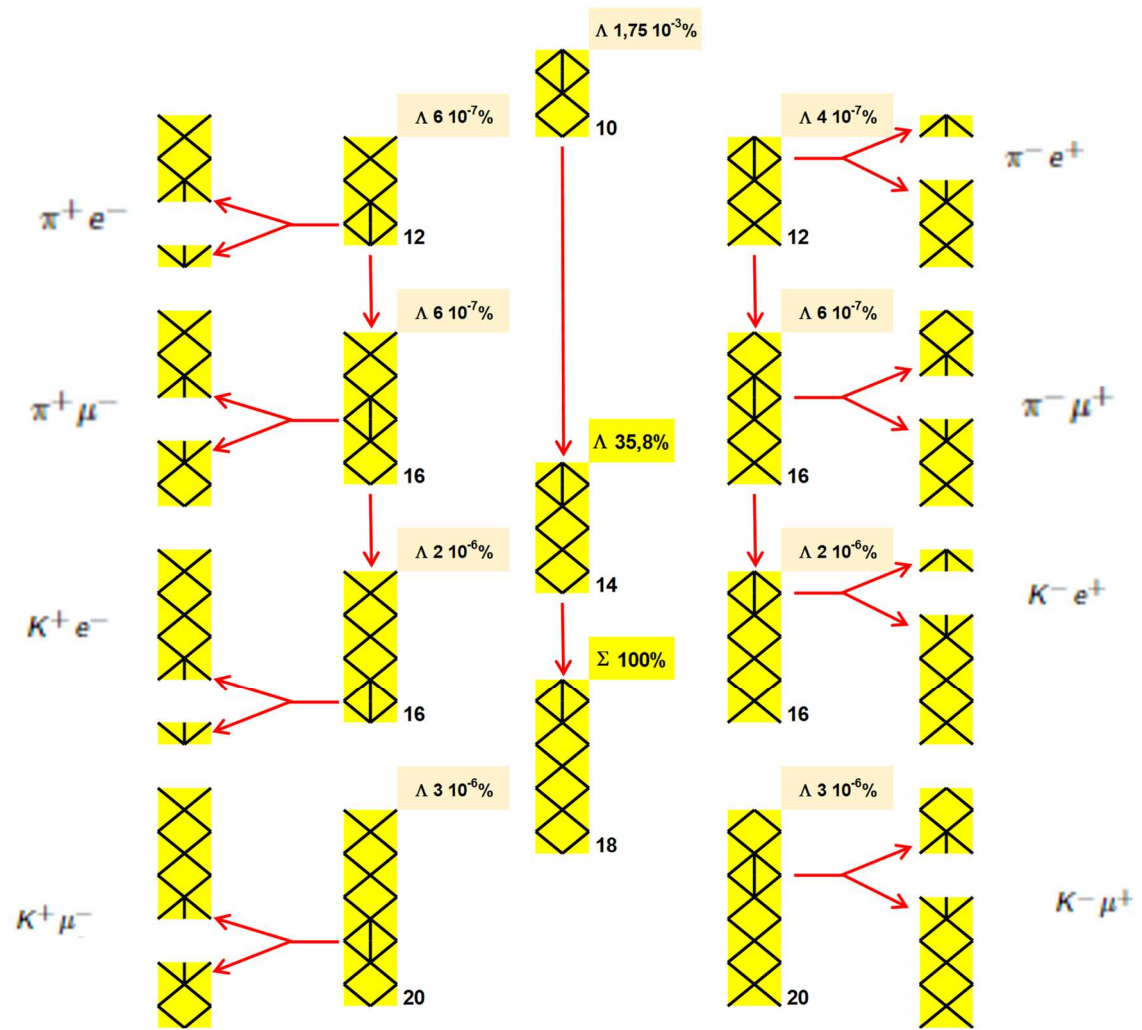
Mass  $m = 1314.86 \pm 0.20$  MeV  
 $m_{\Xi^-} - m_{\Xi^0} = 6.85 \pm 0.21$  MeV  
 Mean life  $\tau = (2.90 \pm 0.09) \times 10^{-10}$  s  
 $c\tau = 8.71$  cm

$\Xi^0$ DECAY MODES	Fraction ( $\Gamma_i/\Gamma$ )	Confidence level	$P$ (MeV/c)
$\Lambda\pi^0$	$(90.524 \pm 0.012) \%$		135
$\Lambda\gamma$	$(1.17 \pm 0.07) \times 10^{-3}$		184
$\Lambda e^+ e^-$	$(7.6 \pm 0.6) \times 10^{-6}$		184
$\Sigma^0\gamma$	$(3.33 \pm 0.10) \times 10^{-3}$		117
$\Sigma^+ e^- \bar{\nu}_e$	$(2.52 \pm 0.08) \times 10^{-4}$		120
$\Sigma^+ \mu^- \bar{\nu}_\mu$	$(2.33 \pm 0.35) \times 10^{-6}$		64

### $\Delta S = \Delta Q$ (SQ) violating modes or $\Delta S = 2$ forbidden (S2) modes

$\Sigma^- e^+ \nu_e$	SQ	$< 9$	$\times 10^{-4}$	90%	112
$\Sigma^- \mu^+ \nu_\mu$	SQ	$< 9$	$\times 10^{-4}$	90%	49
$p\pi^-$	S2	$< 8$	$\times 10^{-6}$	90%	299
$p e^- \bar{\nu}_e$	S2	$< 1.3$	$\times 10^{-3}$		323
$p\mu^- \bar{\nu}_\mu$	S2	$< 1.3$	$\times 10^{-3}$		309







## 14 Bariones Delta

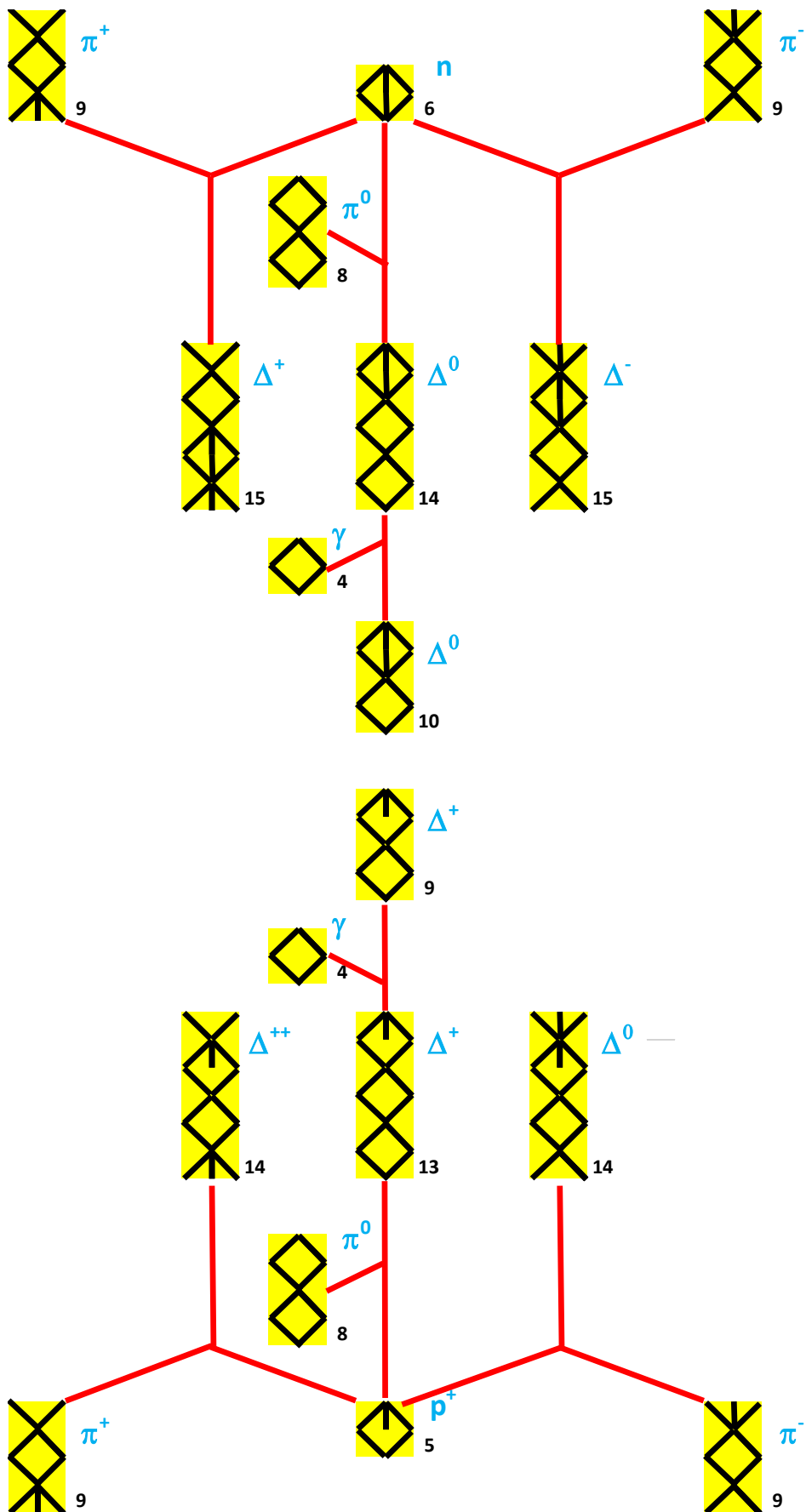
**$\Delta(1232)$**

Breit-Wigner mass (mixed charges) = 1230 to 1234 ( $\approx 1232$ ) MeV

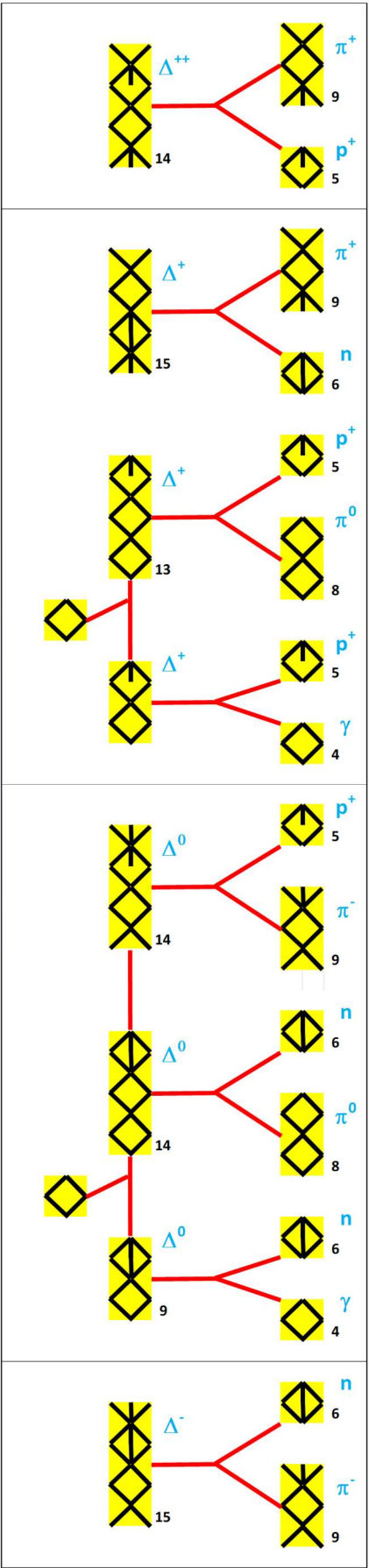
$\Delta(1232)$ DECAY MODES	Fraction ( $\Gamma_i/\Gamma$ )	$p$ (MeV/c)
$N\pi$	99.4 %	229
$N\gamma$	0.55–0.65 %	259
$pe^+e^-$	$(4.2 \pm 0.7) \times 10^{-5}$	259

Particule	Quarks	Charge (e)	Désintégration
$\Delta^{++}$	uuu	+2	$\pi^+ + p$
$\Delta^+$	uud	+1	$\pi^+ + n$ $\pi^0 + p$ $\gamma + p$ (rare)
$\Delta^0$	udd	0	$\pi^0 + n$ $\pi^- + p$ $\gamma + n$ (rare)
$\Delta^-$	ddd	-1	$\pi^- + n$

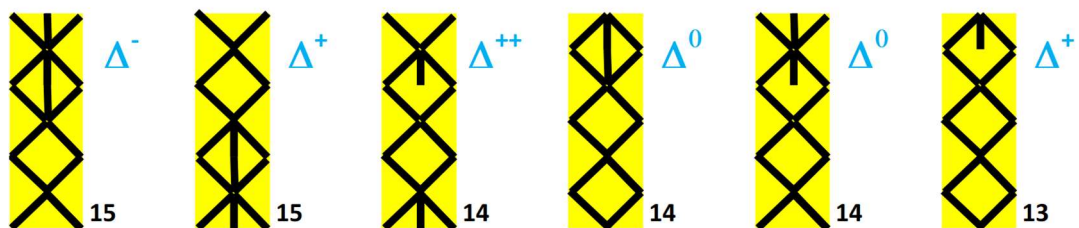
[https://fr.wikipedia.org/wiki/Baryon\\_Delta](https://fr.wikipedia.org/wiki/Baryon_Delta)



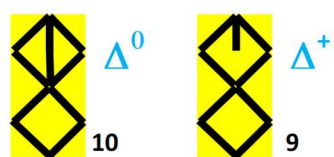
Particule	Désintégration
$\Delta^{++}$	$\pi^+ + p$
$\Delta^+$	$\pi^+ + n$ $\pi^0 + p$ $\gamma + p$ (rare)
$\Delta^0$	$\pi^0 + n$ $\pi^- + p$ $\gamma + n$ (rare)
$\Delta^-$	$\pi^- + n$



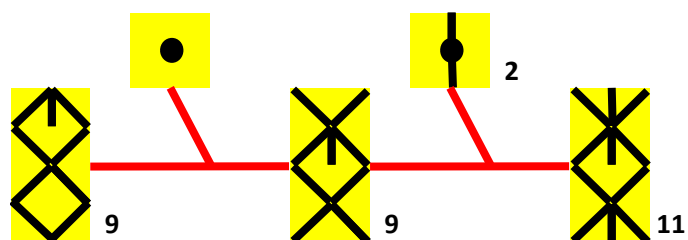
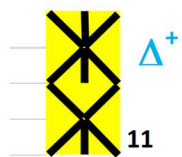
$N_{\pi} \text{ 99.4 \%}$



$N_{\gamma} \text{ 0.55--0.65 \%}$



$p e^+ e^- \text{ ( } 4.2 \pm 0.7 \text{ ) } \times 10^{-5}$



## 15 El quark top



Charge =  $\frac{2}{3} e$

Mass (direct measurements)  $m = 172.69 \pm 0.30 \text{ GeV}$  [a,b]

Mass (from cross-section measurements)  $m = 162.5^{+2.1}_{-1.5} \text{ GeV}$  |

Mass (Pole from cross-section measurements)  $m = 172.5 \pm 0.7 \text{ GeV}$

$m_t - m_{\bar{t}} = -0.15 \pm 0.20 \text{ GeV}$  (S = 1.1)

Full width  $\Gamma = 1.42^{+0.19}_{-0.15} \text{ GeV}$  (S = 1.4)

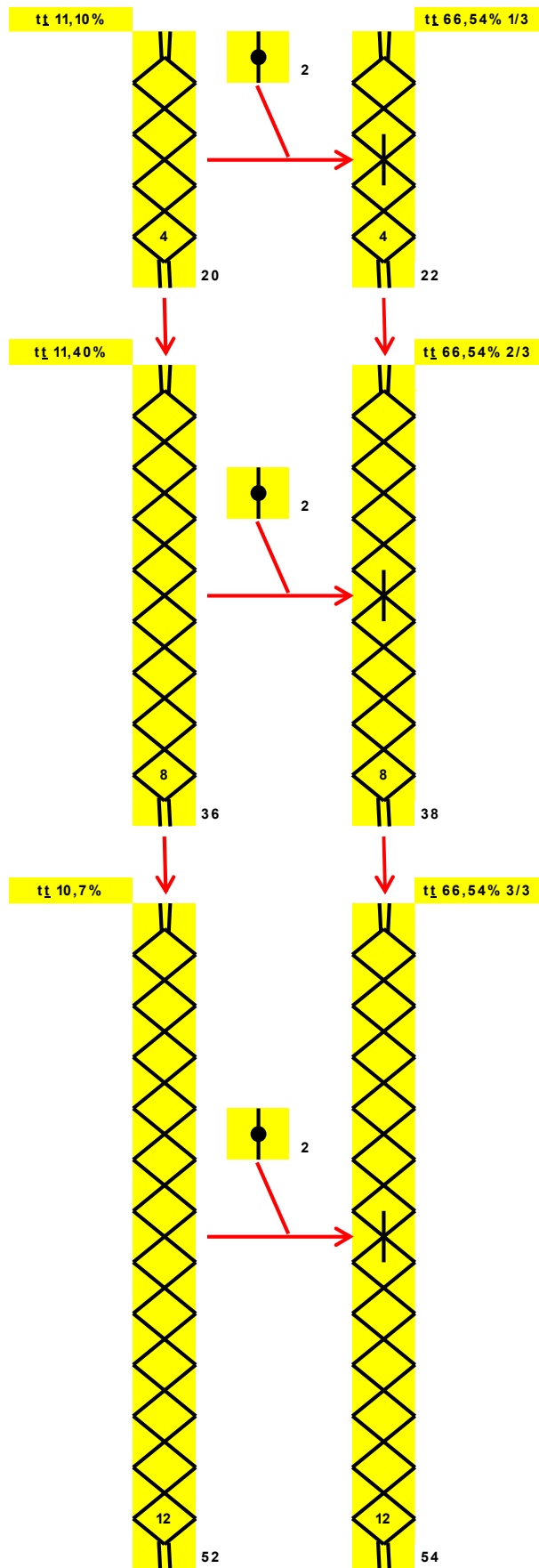
<b>t DECAY MODES</b>	Fraction ( $\Gamma_i/\Gamma$ )		Confidence level	$\frac{p}{(\text{MeV}/c)}$
$W q (q = b, s, d)$				—
$W b$				—
$e \nu_e b$	$(11.10 \pm 0.30) \%$			—
$\mu \nu_\mu b$	$(11.40 \pm 0.20) \%$			—
$\tau \nu_\tau b$	$(10.7 \pm 0.5) \%$			—
$q \bar{q} b$	$(66.5 \pm 1.4) \%$			—
$\gamma q (q=u,c)$	$[c] < 1.8$	$\times 10^{-4}$	95%	—
<b><math>\Delta T = 1</math> weak neutral current (T1) modes</b>				
$Z q (q=u,c)$	T1	$[d] < 5$	$\times 10^{-4}$	95% —
$H u$	T1	$< 1.2$	$\times 10^{-3}$	95% —
$H c$	T1	$< 1.1$	$\times 10^{-3}$	95% —
$\ell^+ \bar{q} \bar{q}' (q=d,s,b; q'=u,c)$	T1	$< 1.6$	$\times 10^{-3}$	95% —

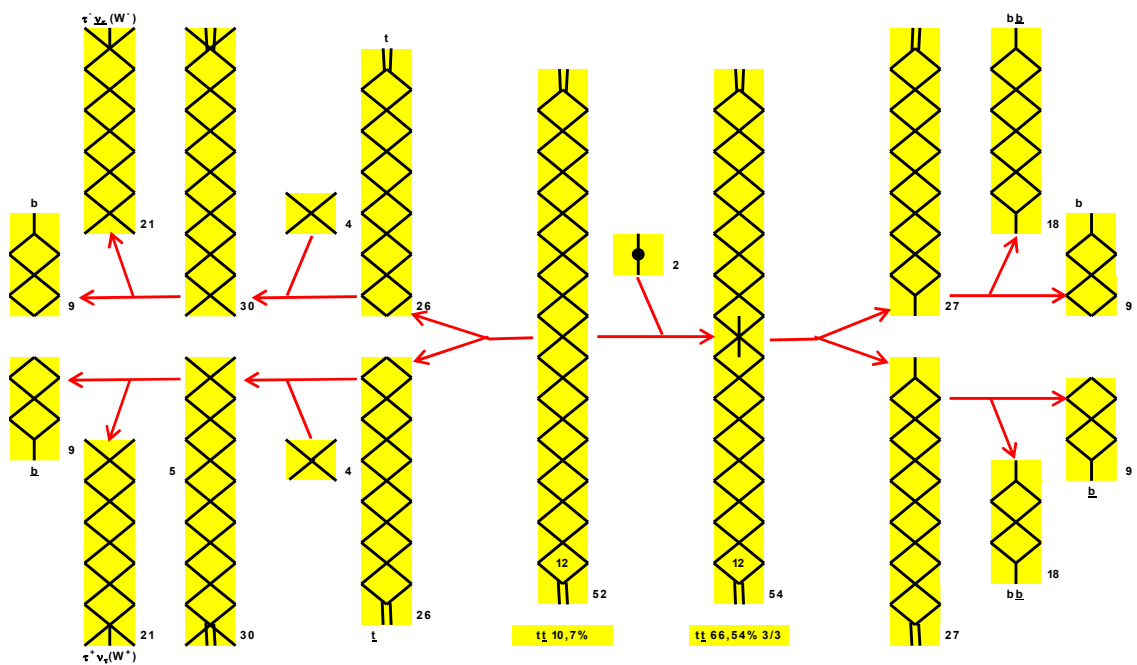
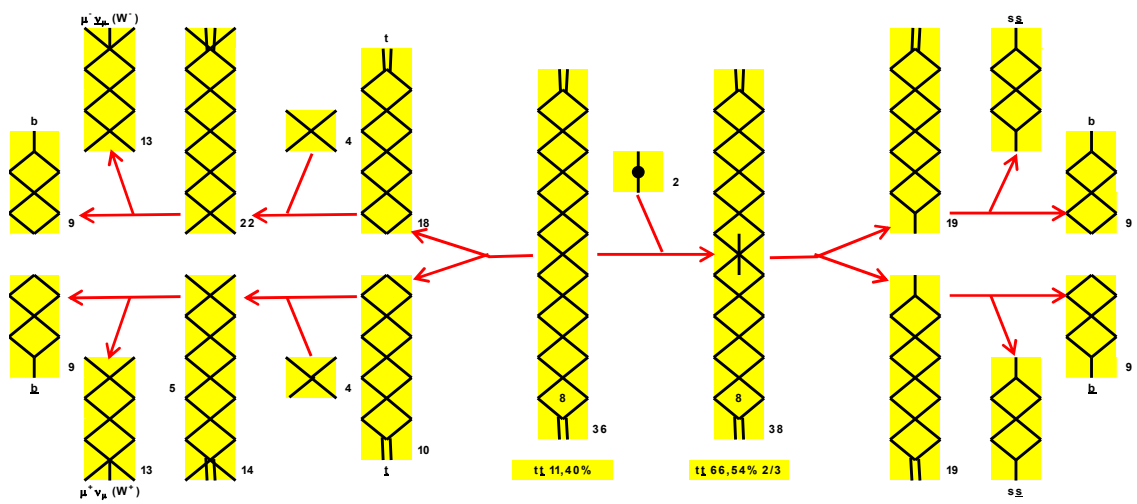
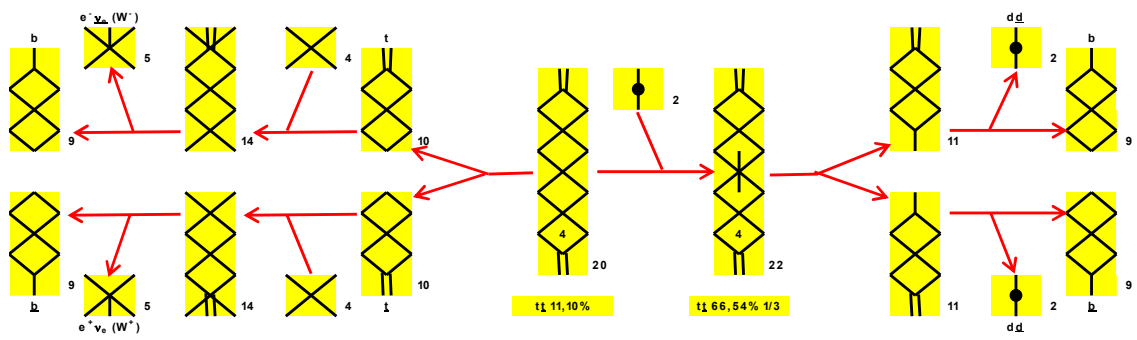
$e \nu_e b$  (11.10 ± 0.30) %

$\mu \nu_\mu b$  (11.40 ± 0.20) %

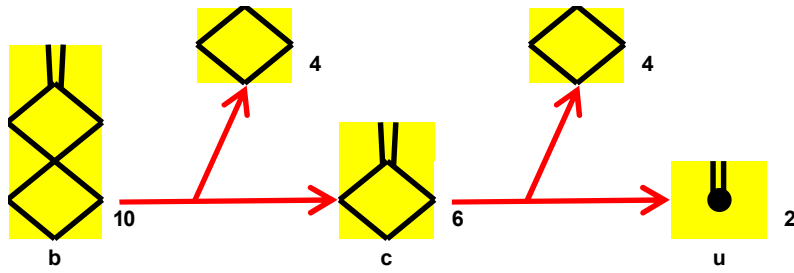
$\tau \nu_\tau b$  (10.7 ± 0.5) %

$q \bar{q} b$  (66.5 ± 1.4) %

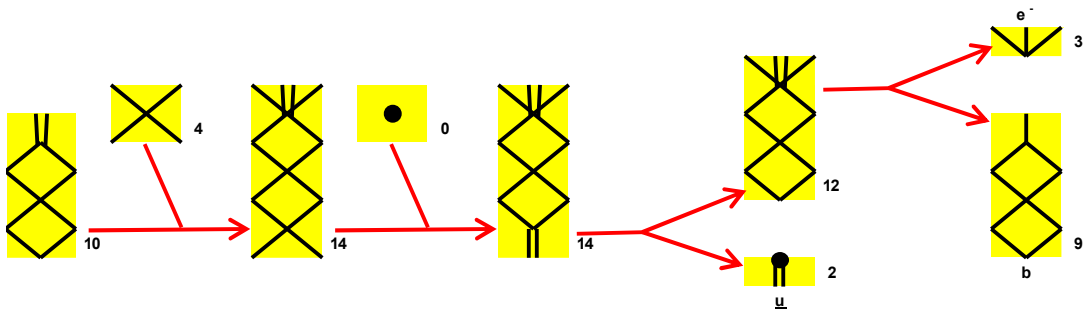
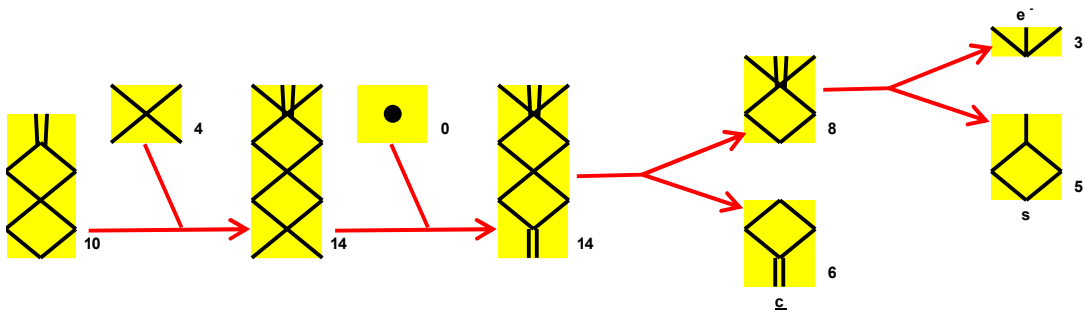




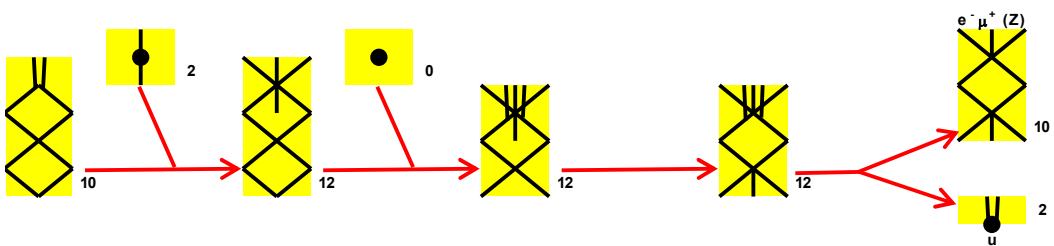
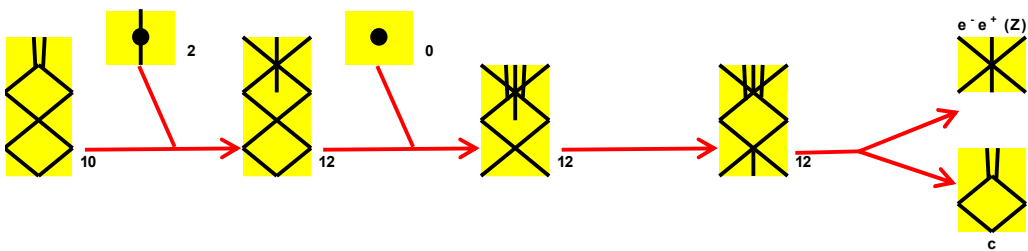
$$\gamma q (q=u,c) \quad 1.8 \times 10^{-4}$$



$$\ell^+ \bar{q} \bar{q}' (q=d,s,b; q'=u,c) \quad 1.6 \times 10^{-3}$$

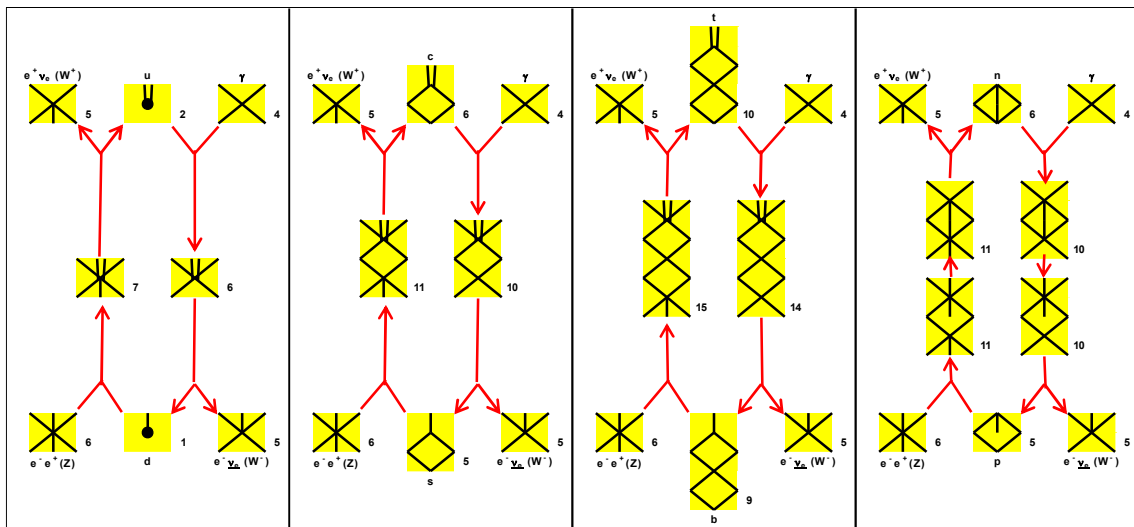
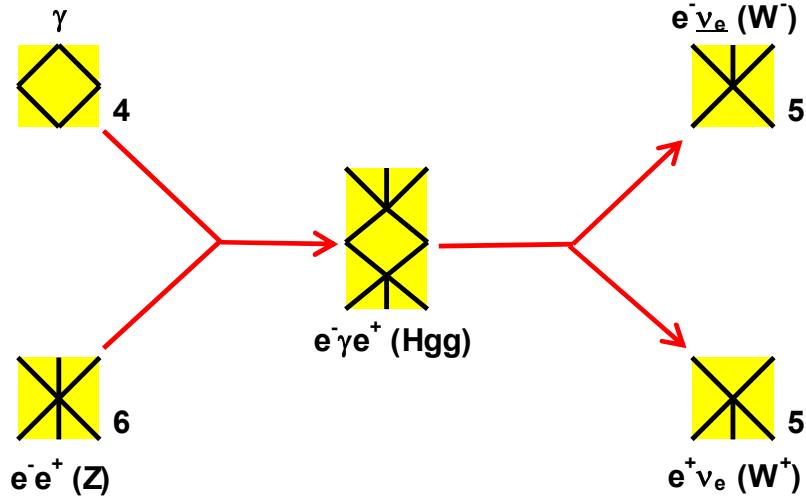


$$Z q (q=u,c) \quad 5 \times 10^{-4}$$

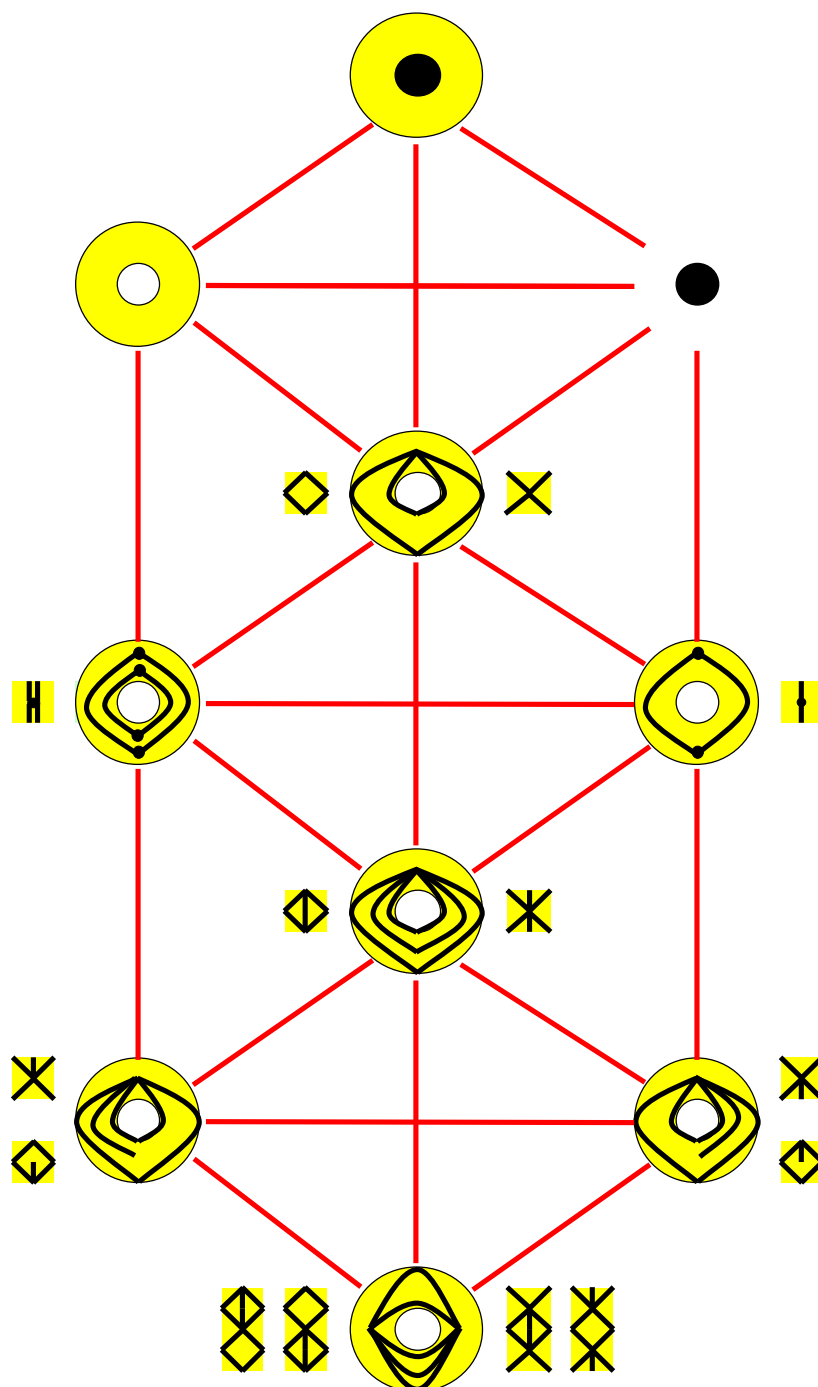


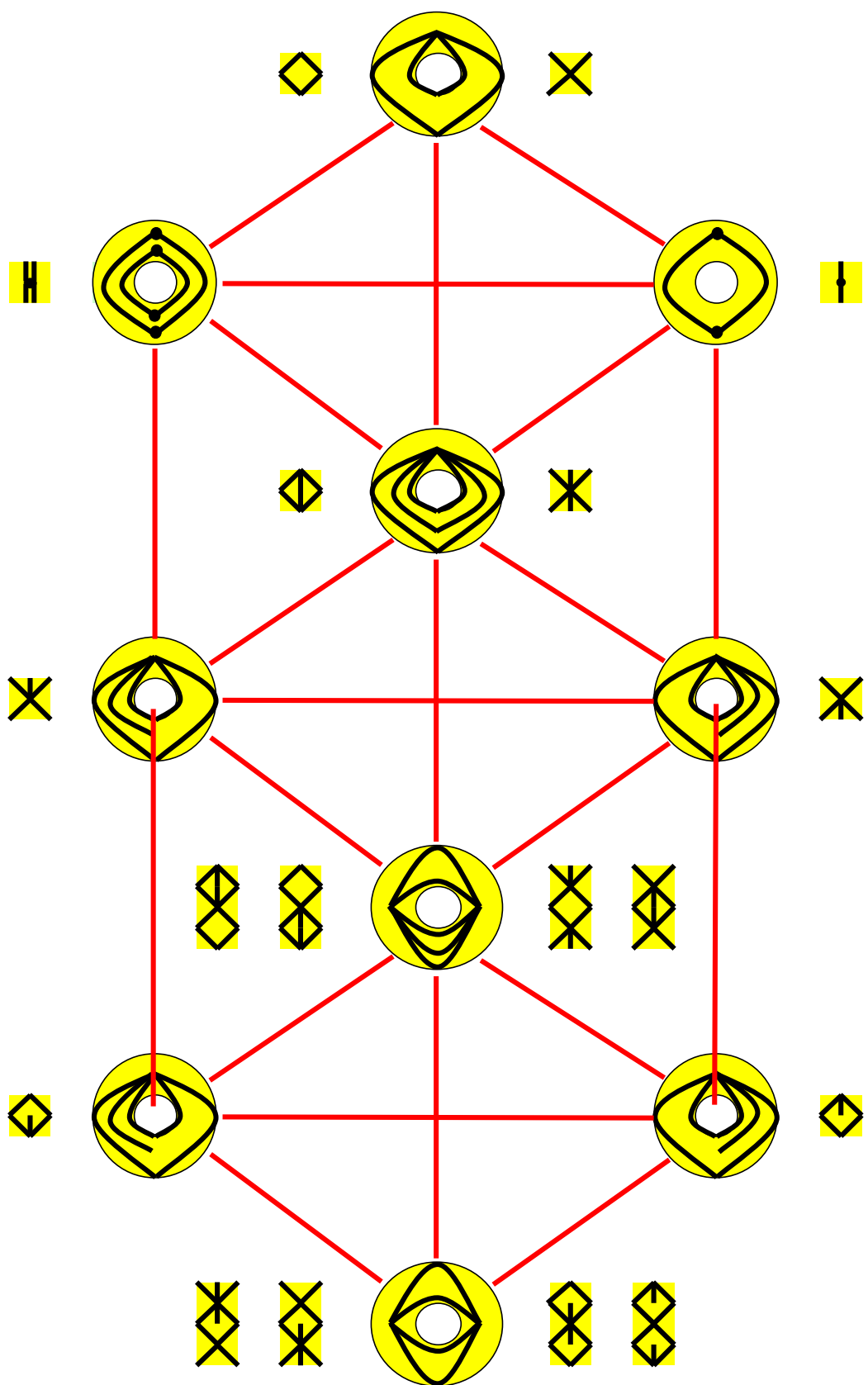


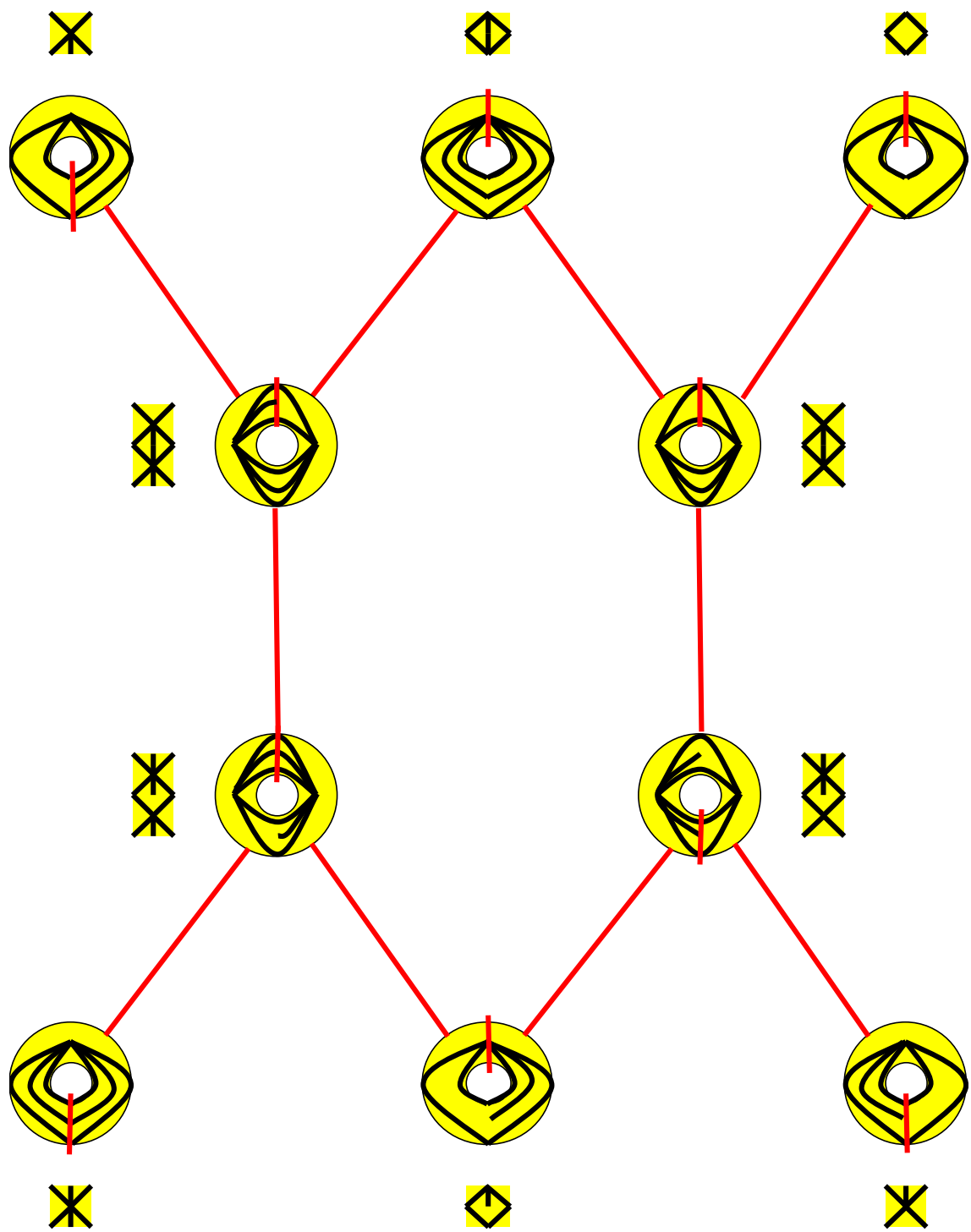
## 16 Interconversión de bosones

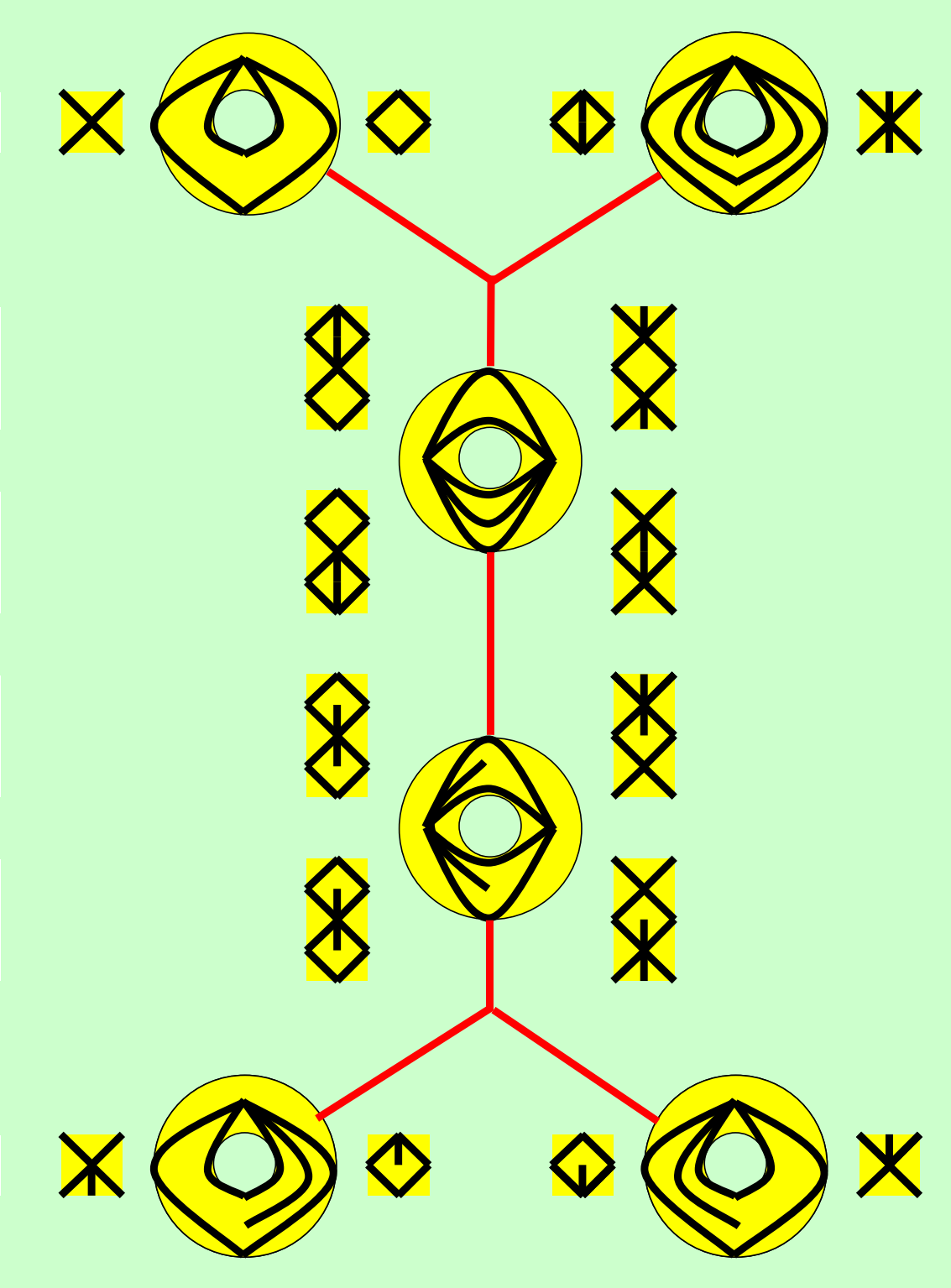


## 17 Teoría de anillos

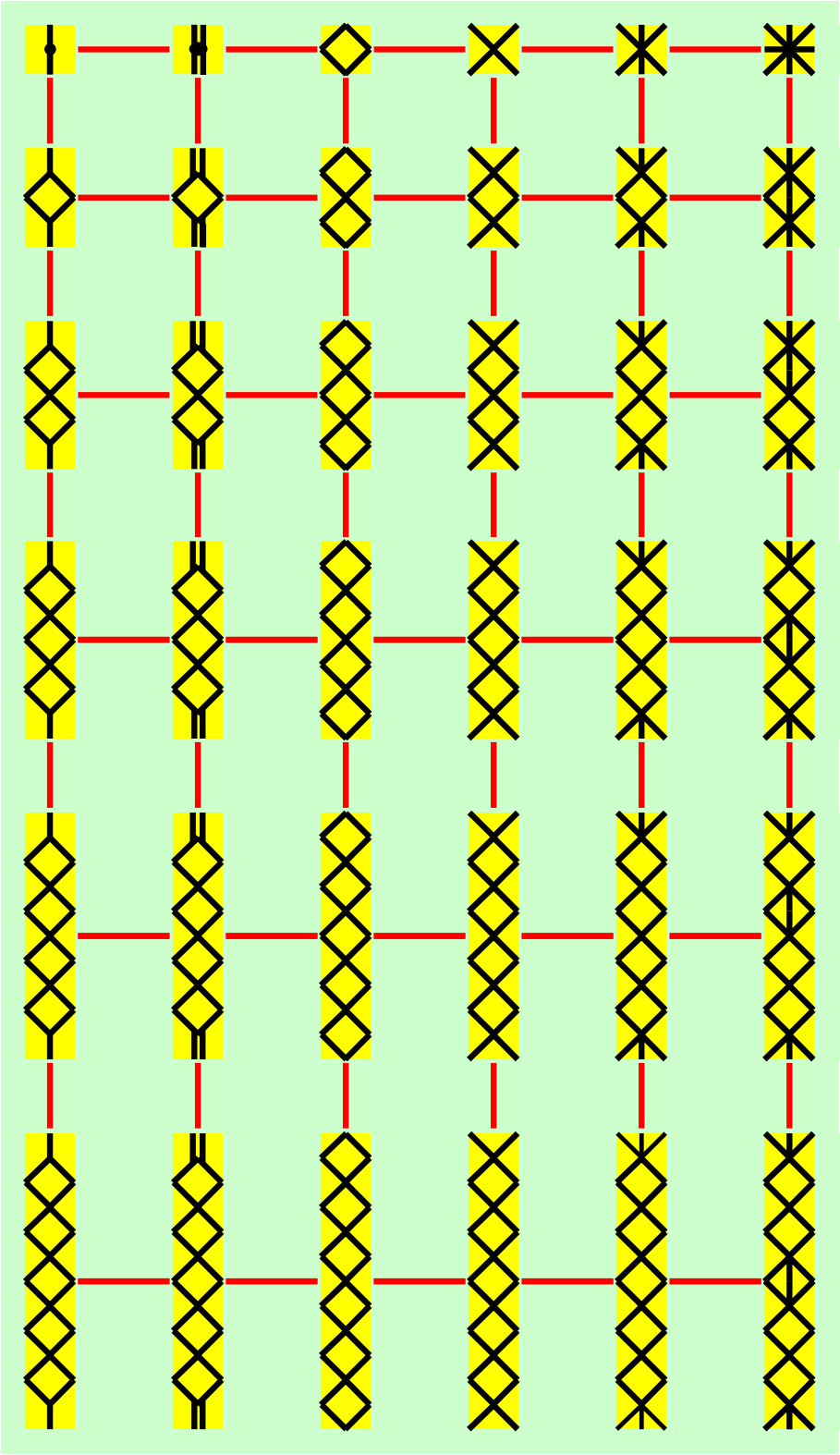


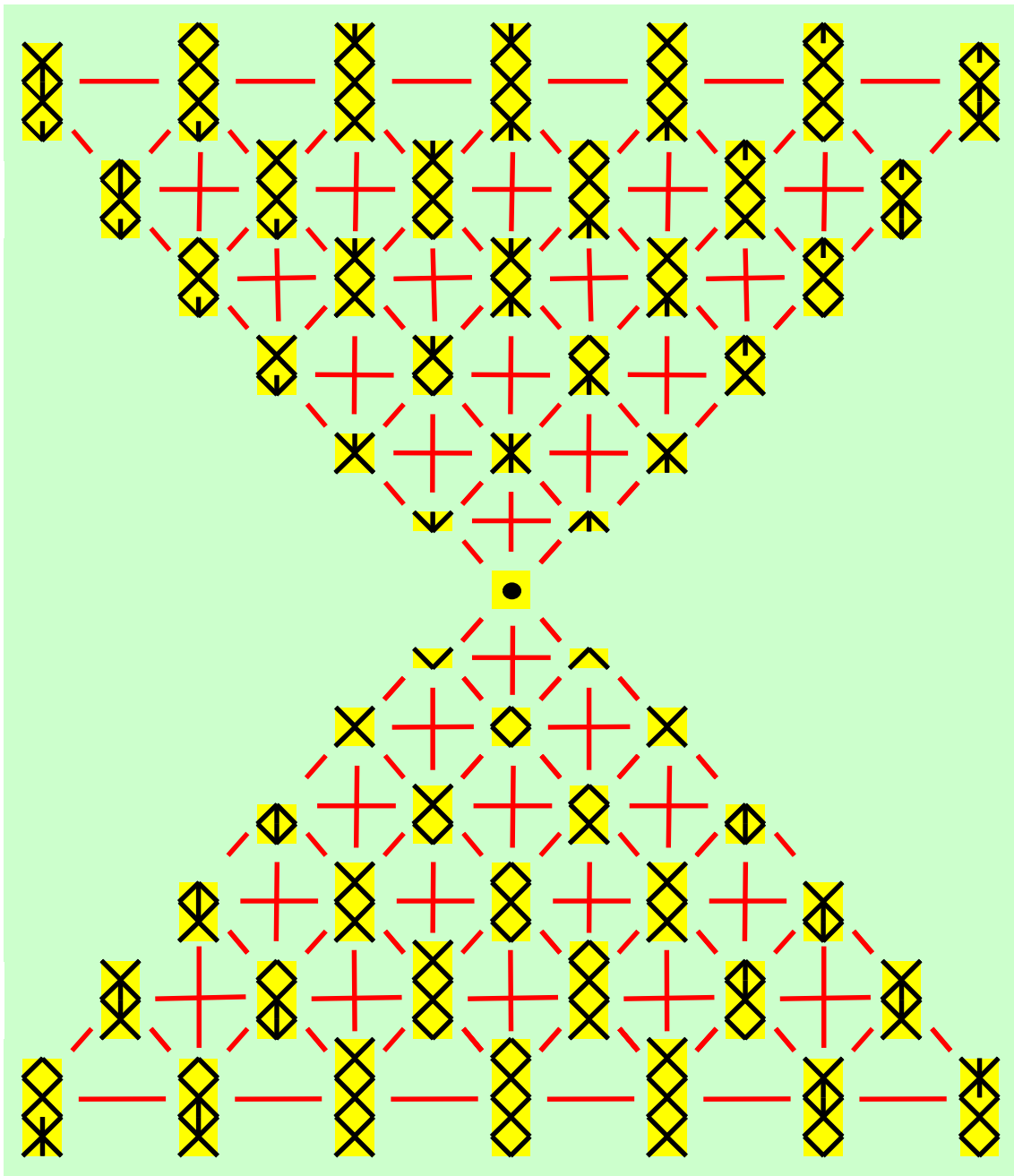


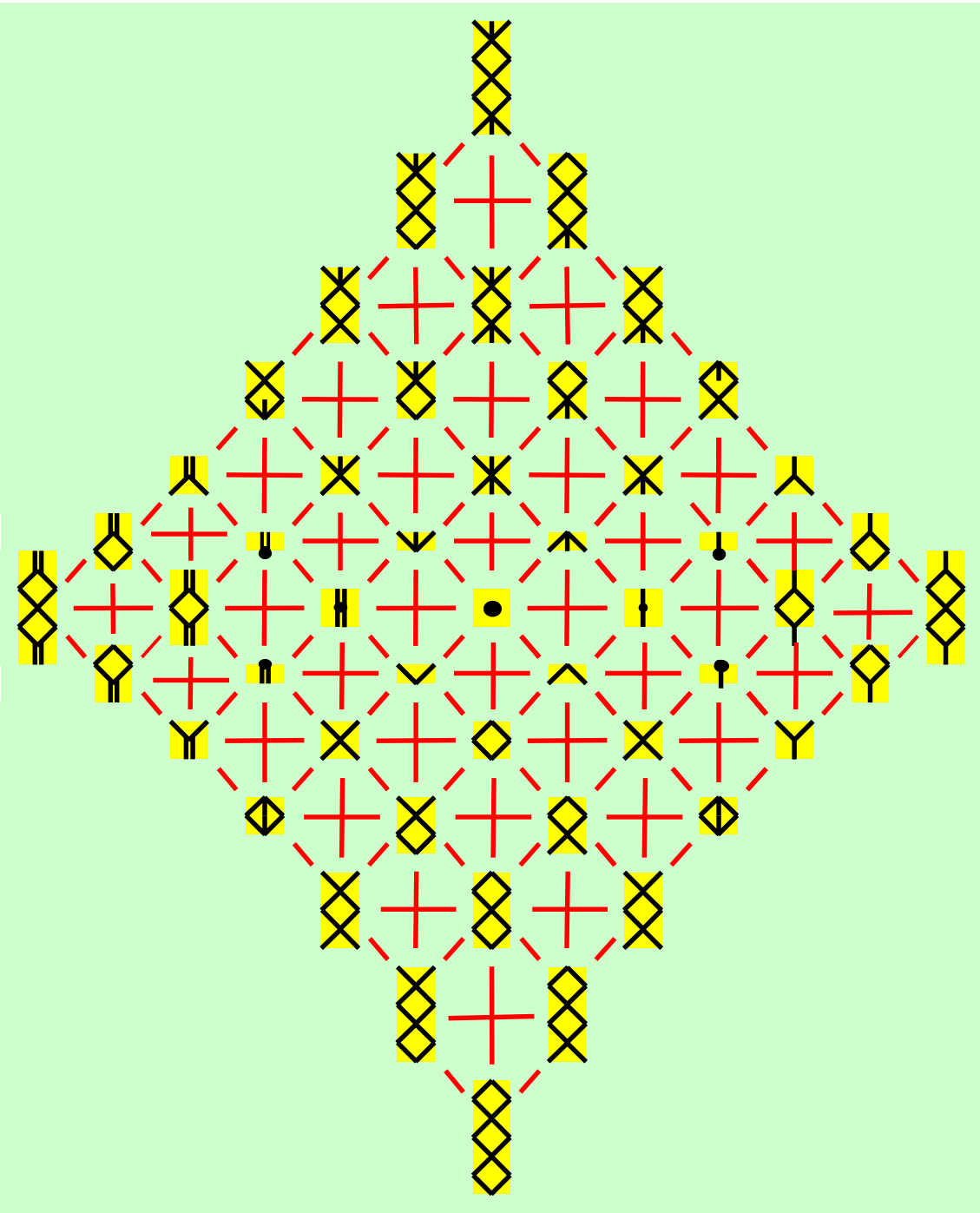




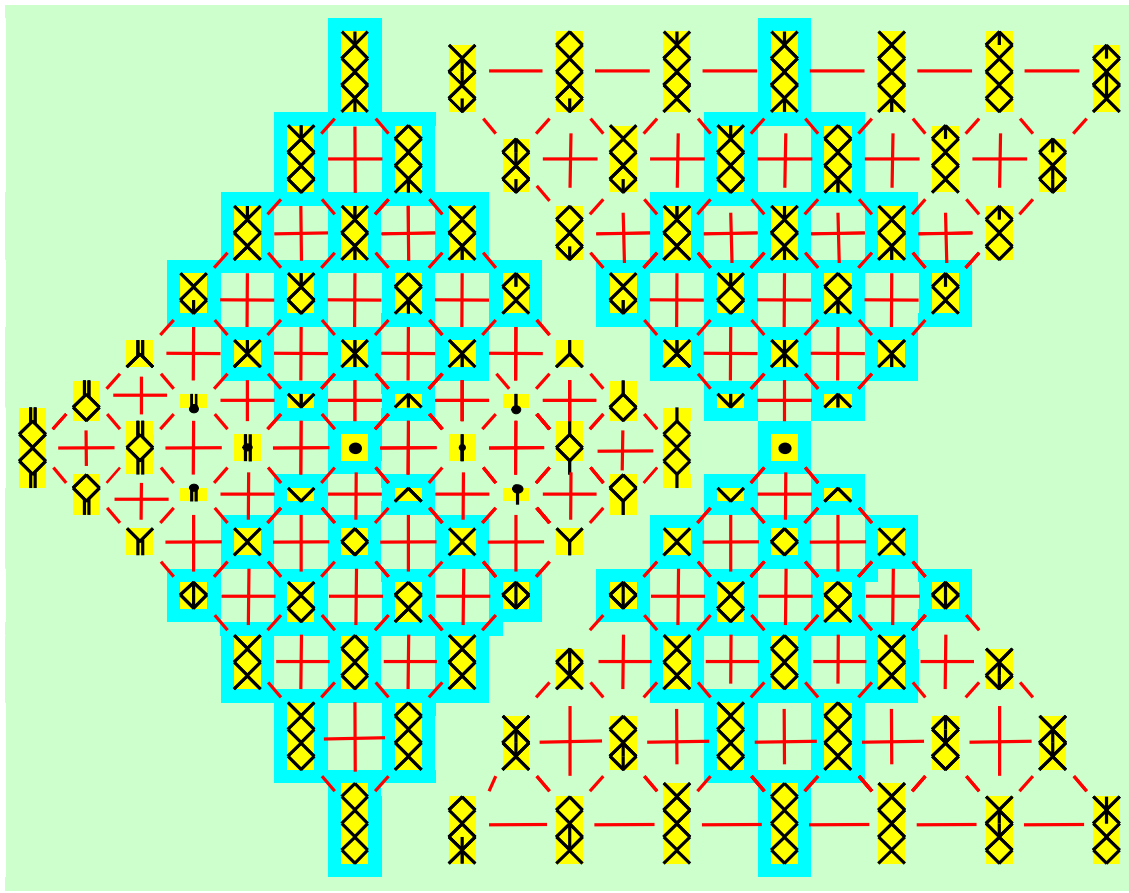
18 Familias de Partículas





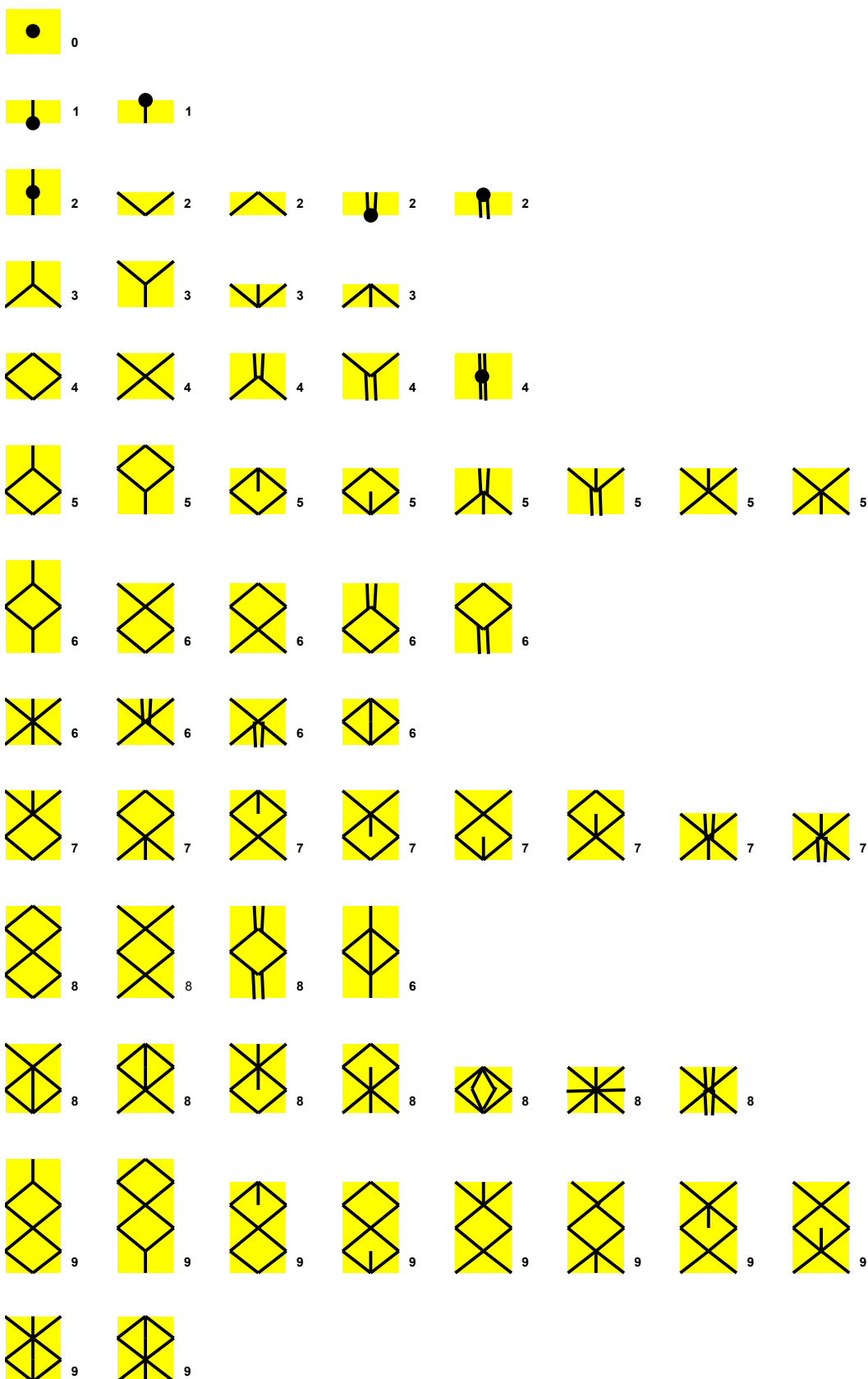


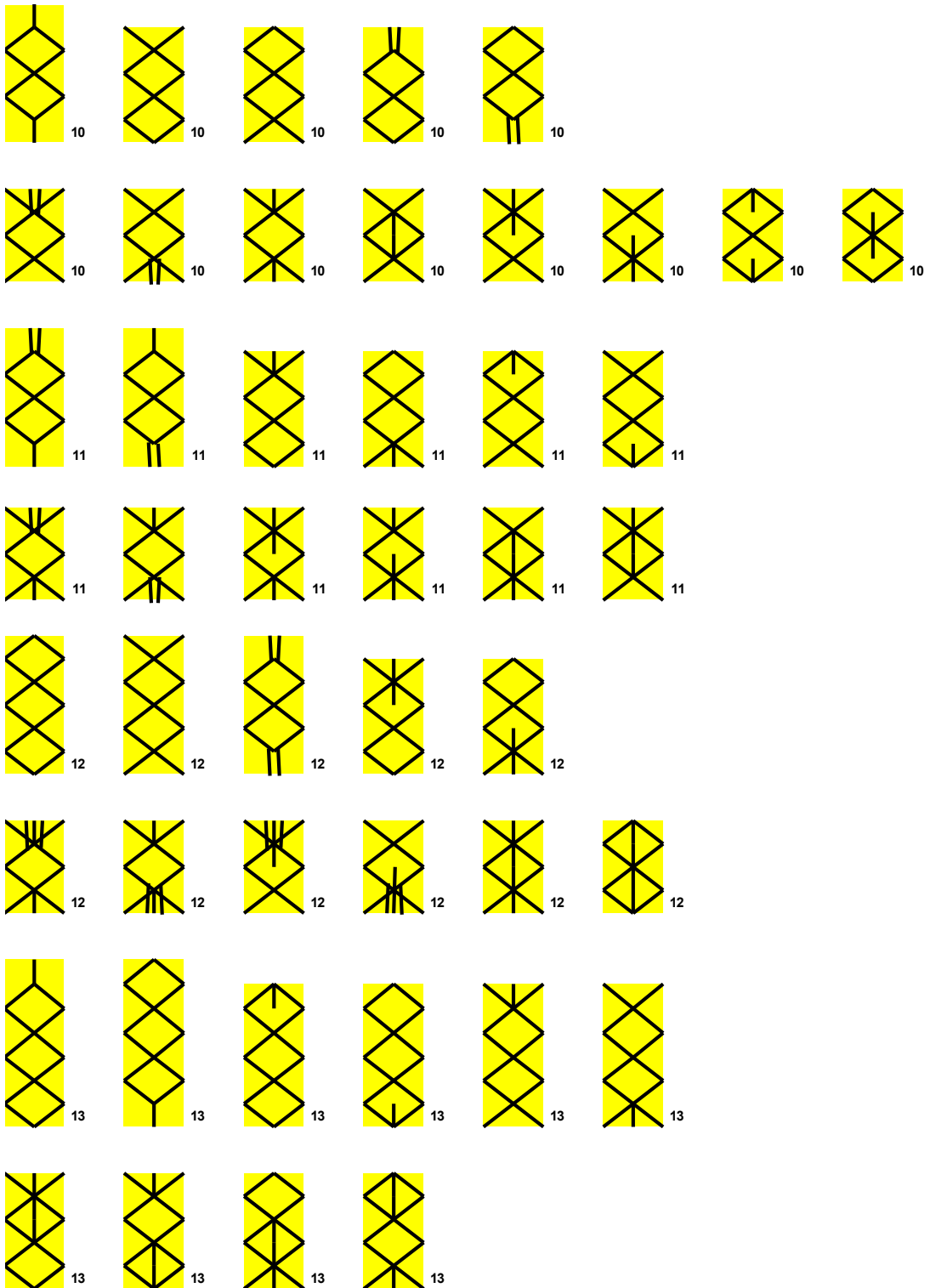


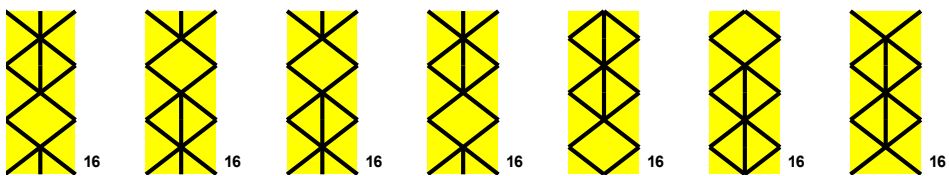
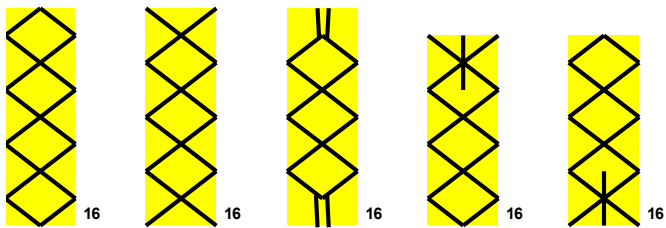
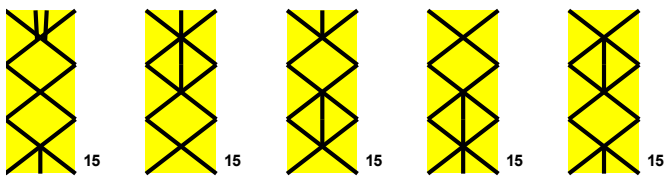
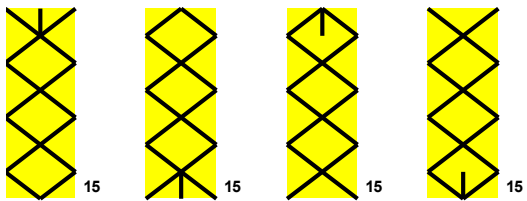
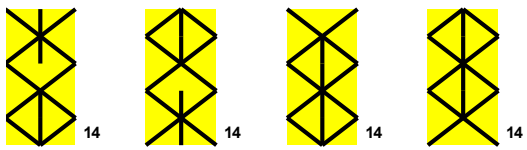
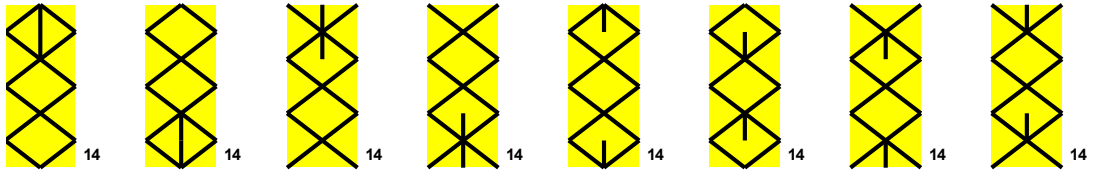
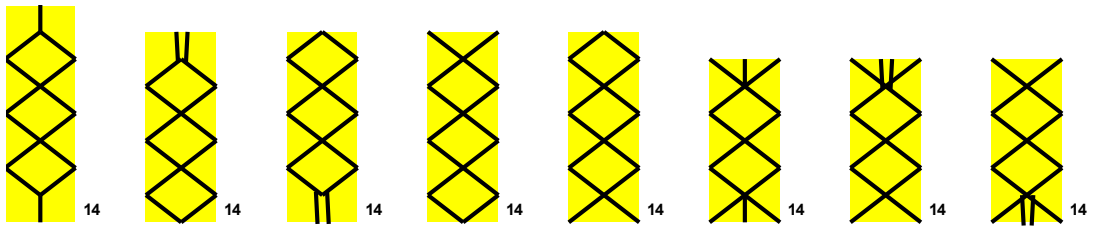


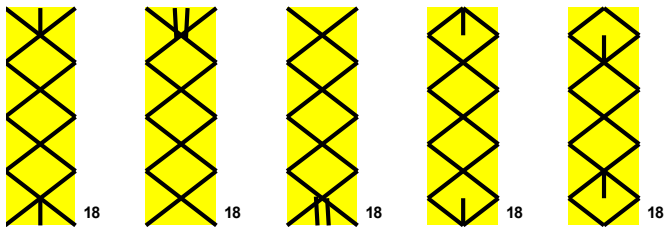
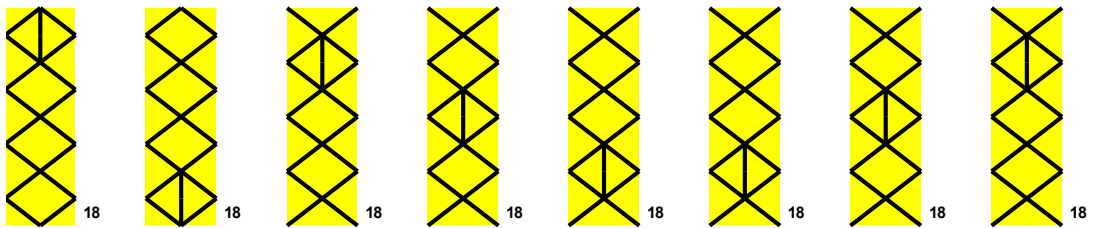
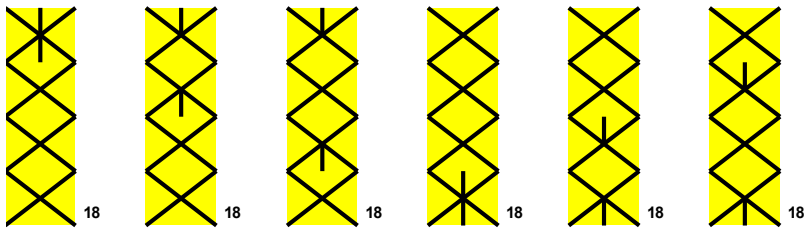
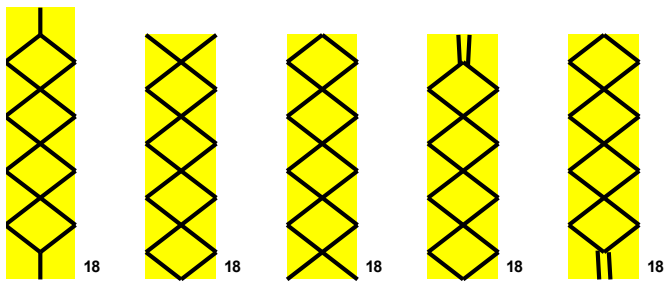
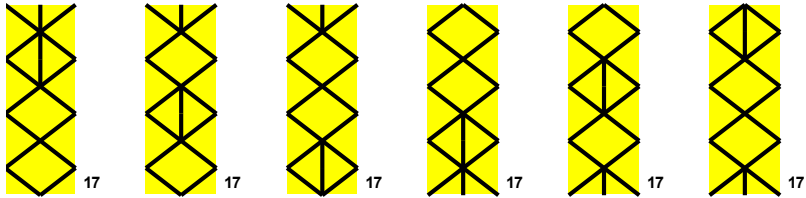
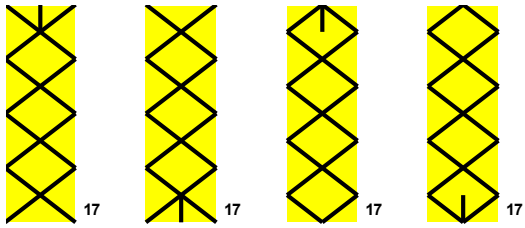
# 19 Índice de partículas

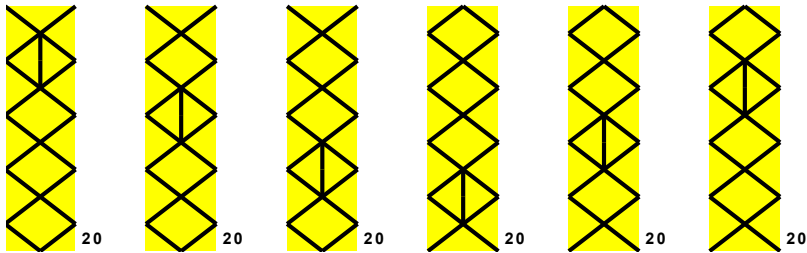
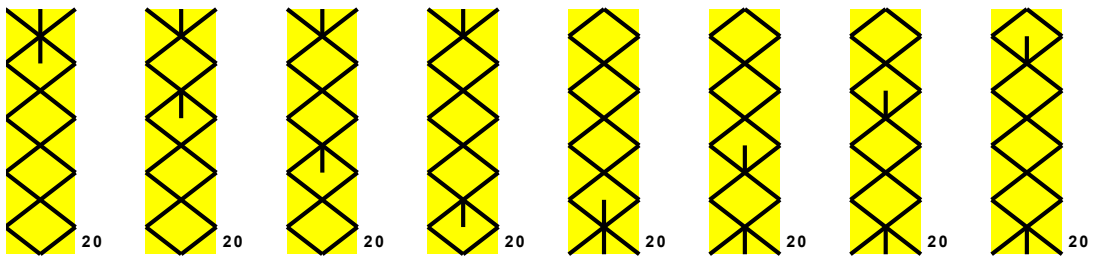
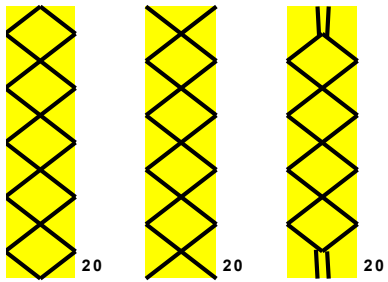
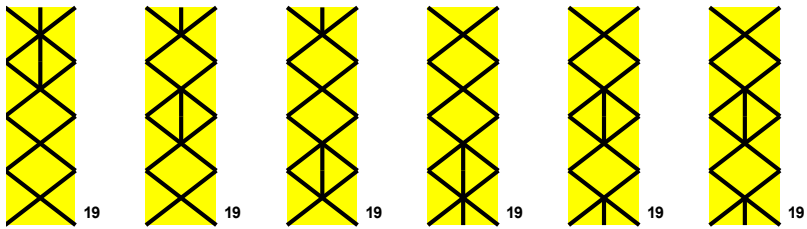
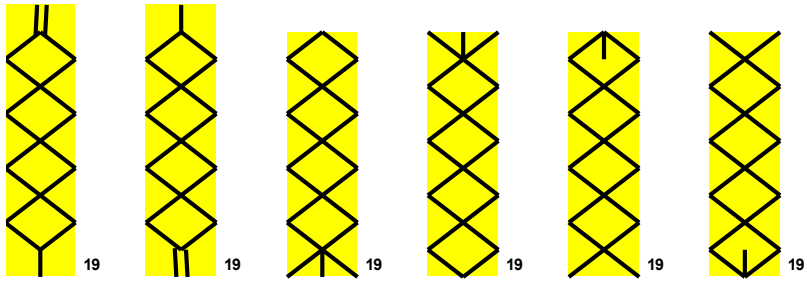
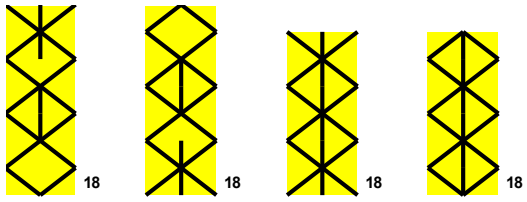
294 partículas ordenadas según el número de cuerdas

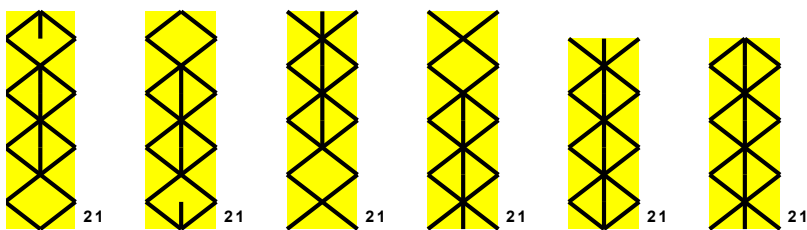
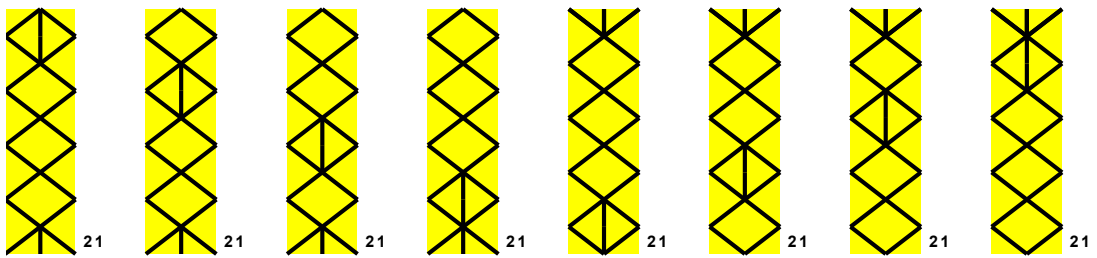
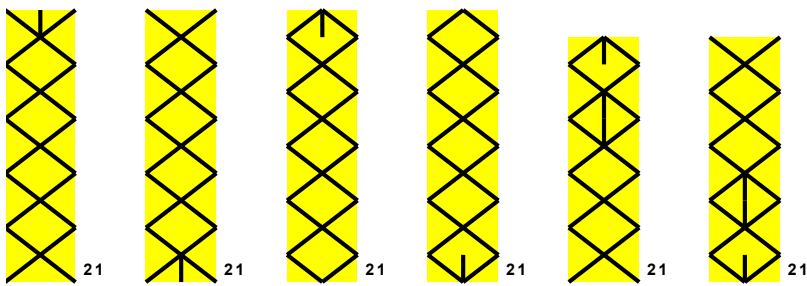
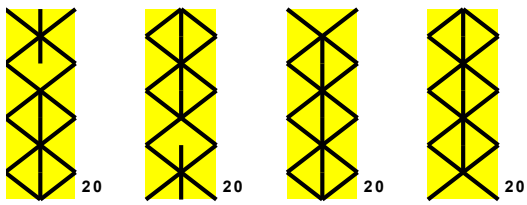
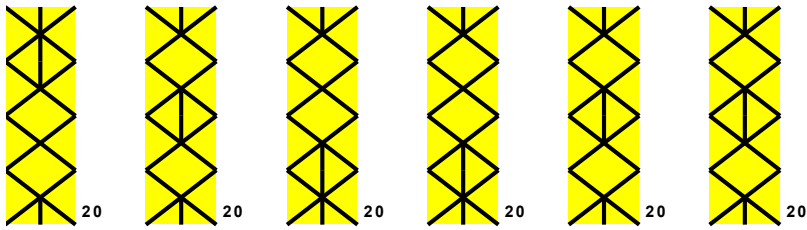
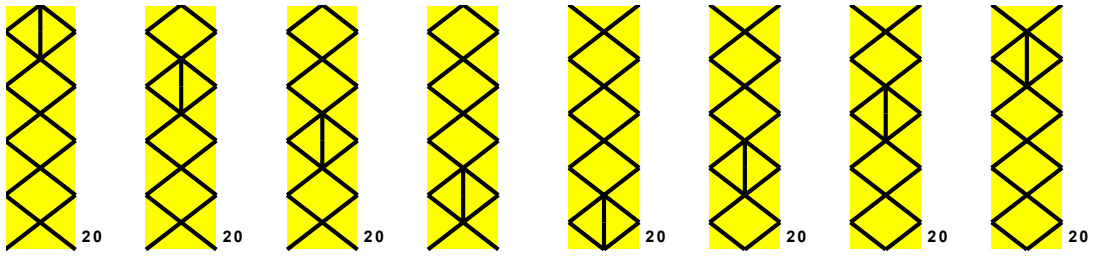


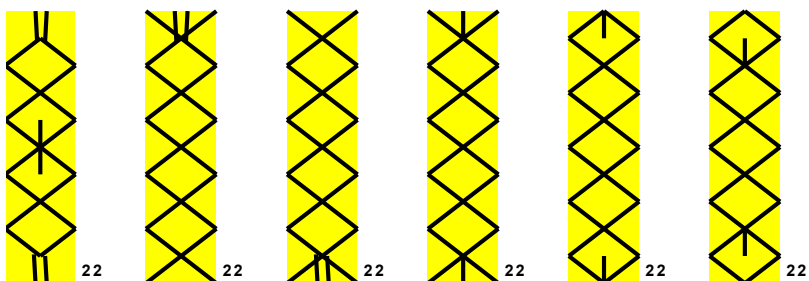
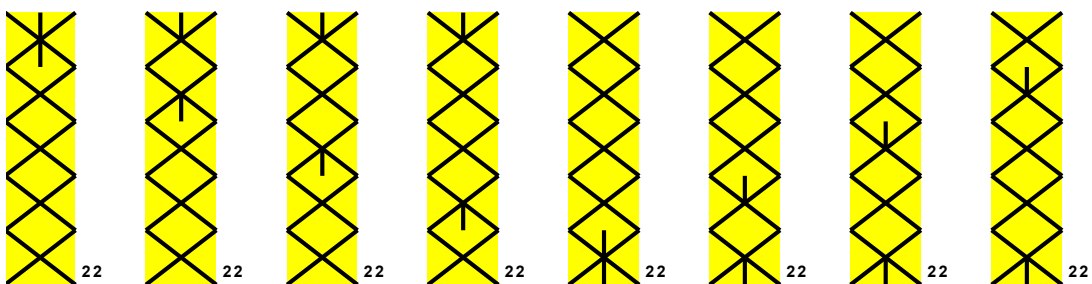
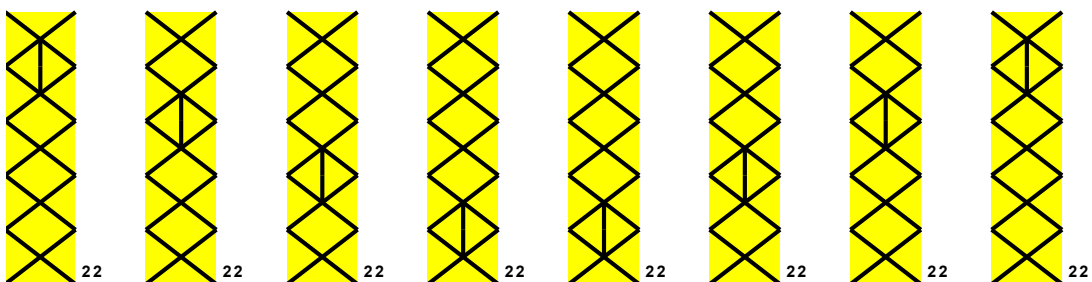
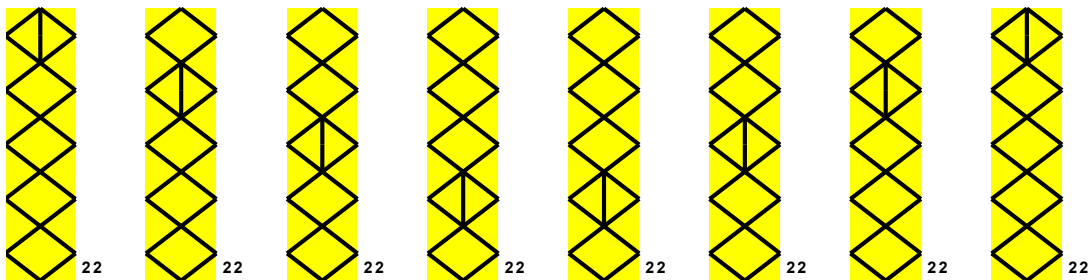
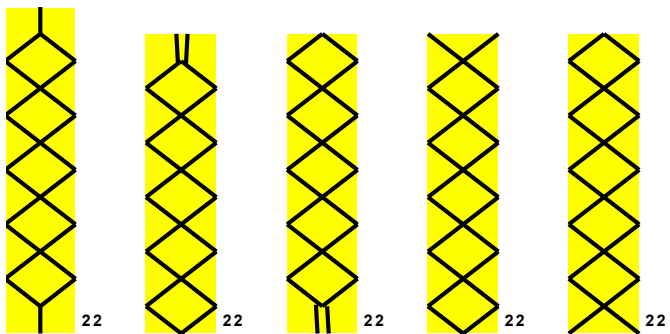




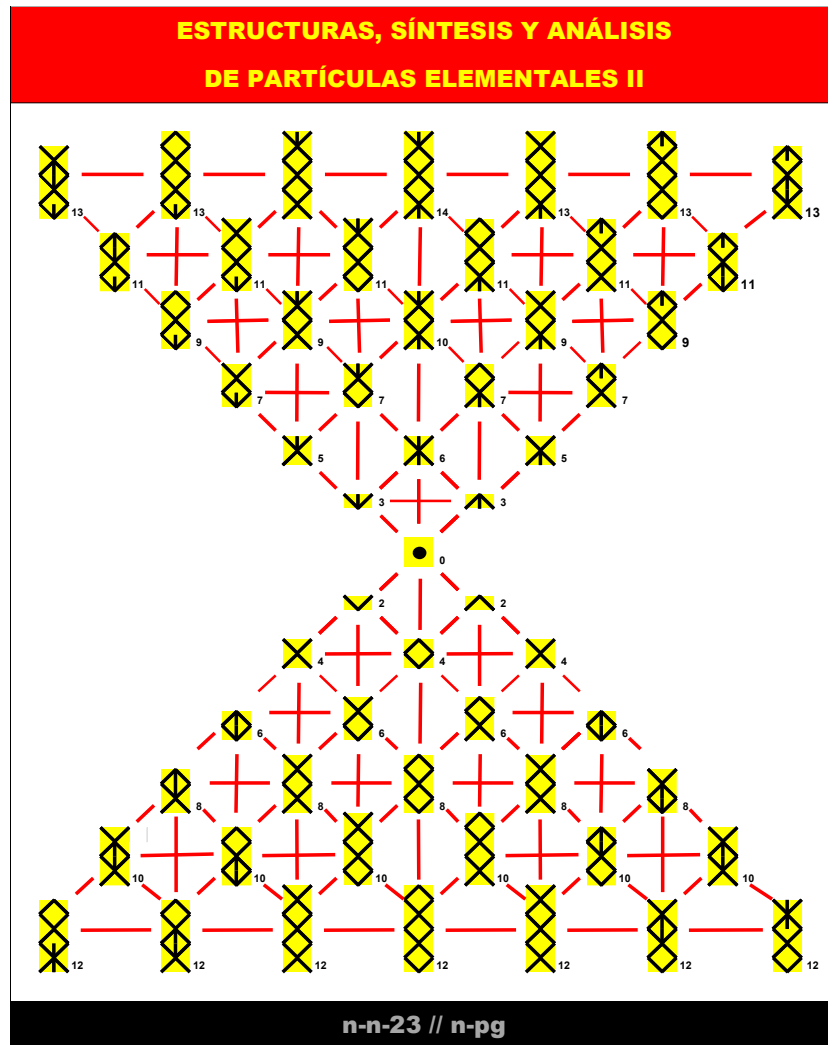
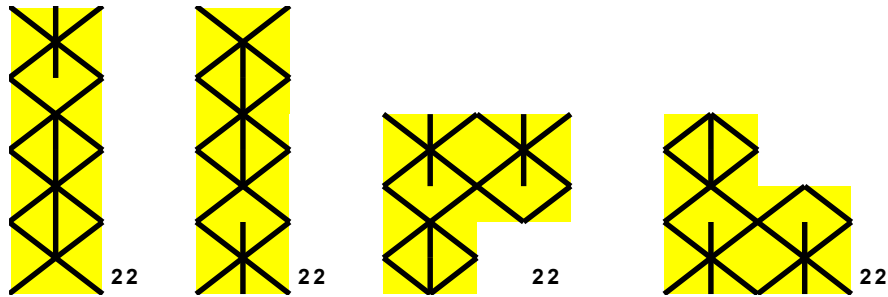












<https://es.scribd.com/doc/305517575/CRONICA-EKARKO-indice-28-7-22>

<https://es.scribd.com/user/167556943/Manuel-Susarte-Rogel>

<https://archive.org/search?query=manuel+susarte&sort=-date>

[manuelsusarte@hotmail.com](mailto:manuelsusarte@hotmail.com)